{BnF

Atelier IA

Classification supervisée d'images

{BnF

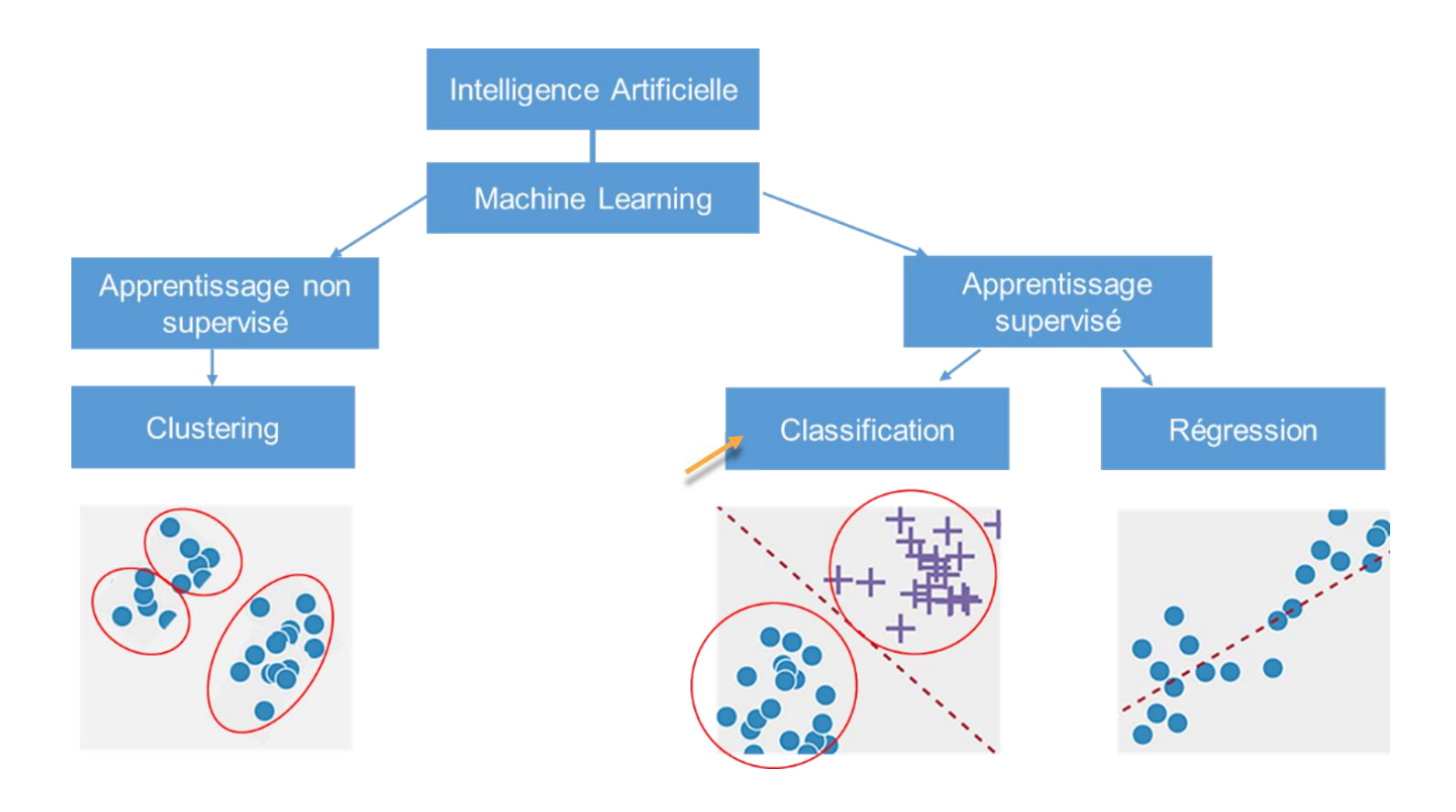
Plan

Introduction:

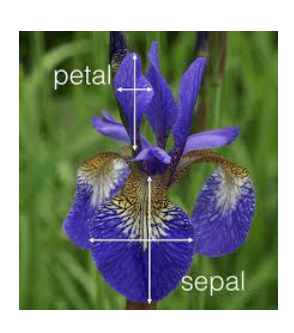
- Classification supervisée
- Le neurone formel
- Perceptron
- Perceptron multicouche
- Réseaux convolutifs (CNN)

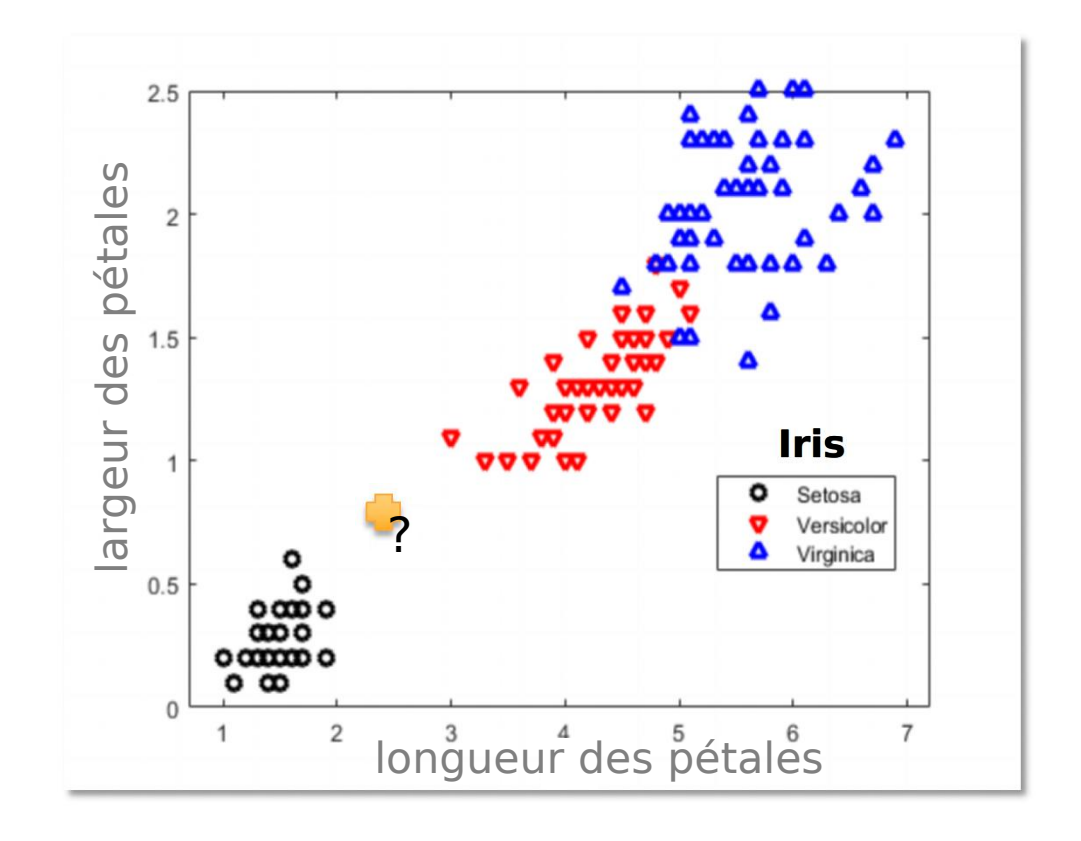
Classification avec Watson Studio/Google AutoML Avec une plateforme IA (TensorFlow)

Classification supervisée



Classification supervisée : exemple

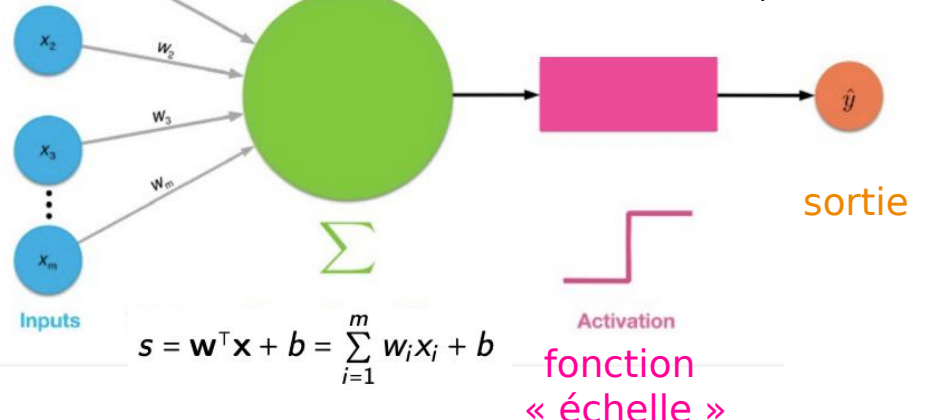




Le neurone formel

The Formal Neuron: 1943 [McCulloch and Pitts, 1943]

- Règle de calcul qui permet d'associer aux m entrées une sortie y
- Les entrées sont excitatrices ou inhibitrices (y = 0 dès qu'une entrée inhibitrice = 1)
- Si la somme pondérée s des entrées excitatrices dépasse le seuil d'activation du
- neurone b, la sortie du neurone est 1 (activée)
- Fonction d'activation non linéaire (sortie non proportionnelle à l'entrée)



A LOGICAL CALCULUS OF THE IDEAS IMMANENT IN NERVOUS ACTIVITY

WARREN S. McCulloch and Walter H. Pitt

Because of the "all-or-nome" character of nervous activity, neural veents and the relations among them can be treated by means of propositional logic. It is found that the behavior of by means of propositional logic. It is found that the behavior of more compilated hope of the control of th

INTRODUCTIO

HEORETICAL, neurophysiology ruts on certain cardinal assumptions. The nervous system is a net of neurons, each having a soma and an axon. Their adjunctions, or synapses, are always between the axon of one neuron and the some of another. At any instant a neuron has some threshold, which excitation must exceed to initiate an impulse. This, except for the fact and the time of its occurrence, is determined by the neuron, not by the excitation. From the point of excitation the impulse is propagated to all parts of the neuron. The velocity along the axon varies directly with its which are usually short, to more than 150 meters per second in thick axons, which are usually long. The time for axonal condution is consequently of little importance in determining the time

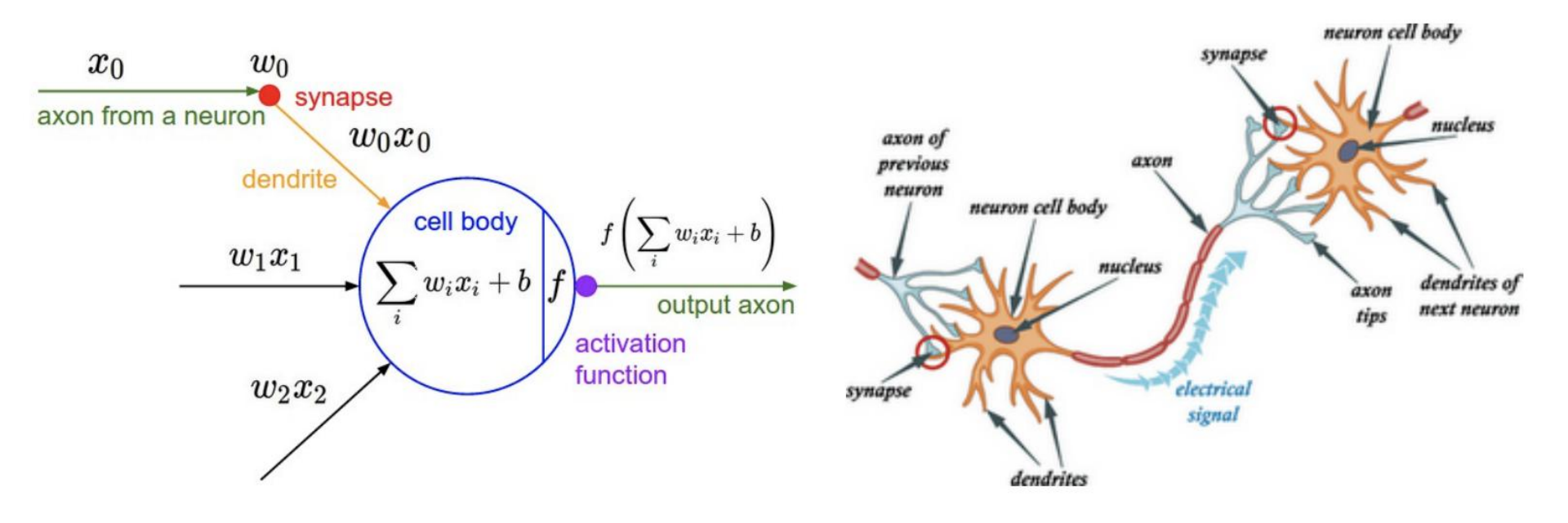
Voir Fun MOOC, « Deep Learning »



Deep Learning - session 1

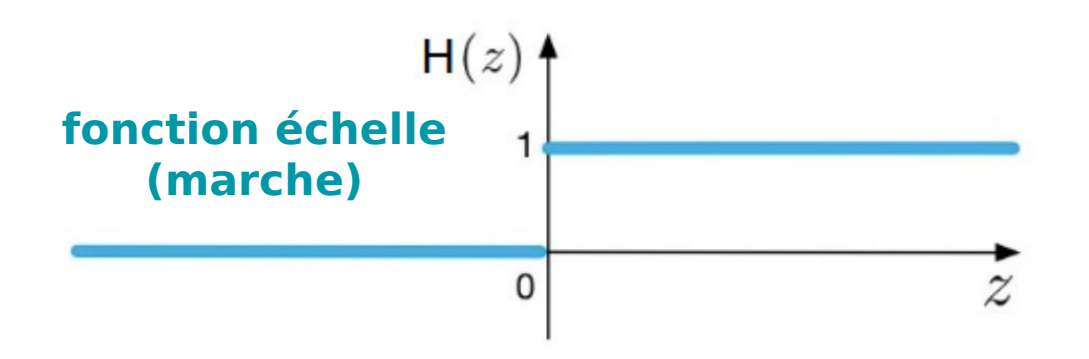
NAM - 01031 erminé - avril 22, 2018

Neurone biologique?



Analogie entre ce modèle computationnel de neurones formels et les neurones biologiques : « si le neurone est suffisamment excité, il atteint un potentiel d'activation suffisant »

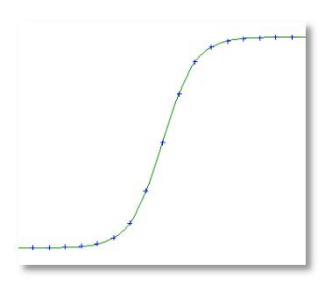
Fonctions d'activation



La fonction « échelle » affecte une valeur de sortie égale à 1 si la sortie s est positive et une valeur 0 sinon

On peut voir le neurone formel comme effectuant une étape de binarisation, où le neurone est activé si la valeur de la combinaison des entrées et des poids est supérieure à un

seuil – *b* (seuil d'activation) Autres fonctions possibles, permettant une prise de décision moins raide et une sortie à valeur réelle : fonction sigmoïde



courbe en « S »

Fonctions booléennes

- Tous les poids sont égaux (1)
- Entrées binaires
- Sortie binaire : $\hat{\mathbf{y}} = f(\mathbf{s})$

b

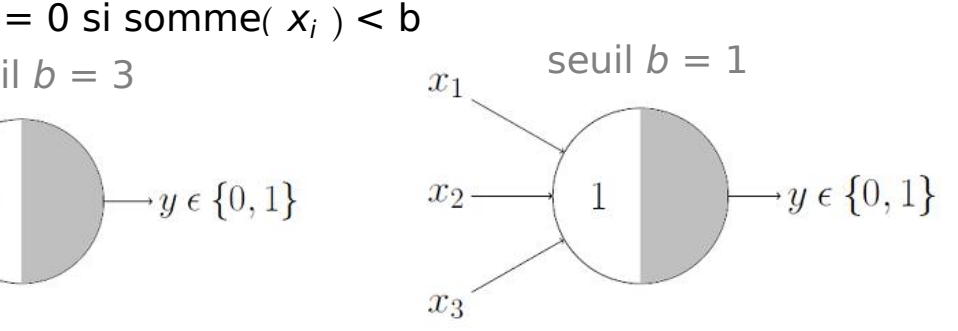
= 1 si somme(
$$x_i$$
) \geqslant

seuil
$$b = 3$$

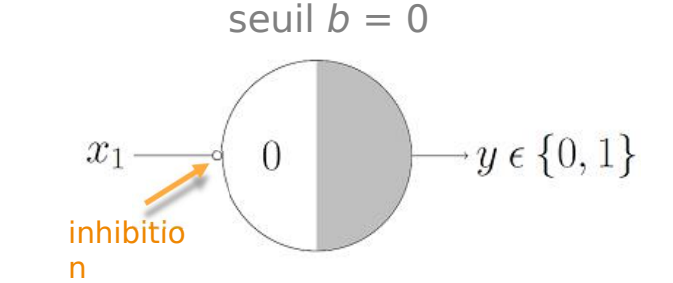
$$x_2 \longrightarrow 3 \longrightarrow y \in \{0, 1\}$$

$$x_3 \longrightarrow y \in \{0, 1\}$$

fonction ET (grandes pétales ET couleur foncée)



fonction OU (grandes pétales OU grandes étamines OU ...)

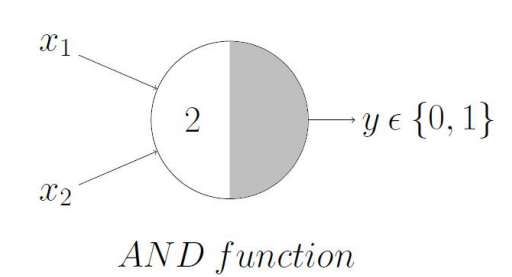


fonction NON (pas

- foncé) Si $x_1 = 0$, le neurone n'est pas inhibée et l'excitation est 0, qui est égale au seuil de 0. La sortie est 1.
- Si $x_1 = 1$, le neurone est inhibé, la sortie est de 0.

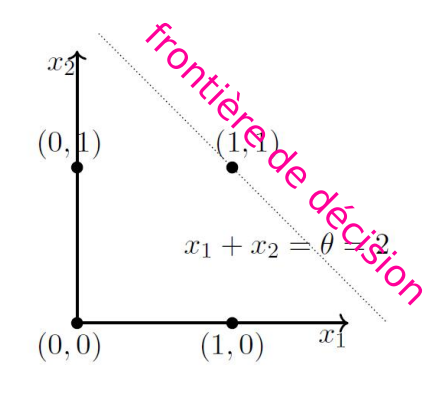
https://mcneela.github.io/machine learning/2017/07/07/McCulloch-Pitts html

Frontière de décision : ET, deux entrées



$$x_1 + x_2 = \sum_{i=1}^{2} x_i \ge 2$$

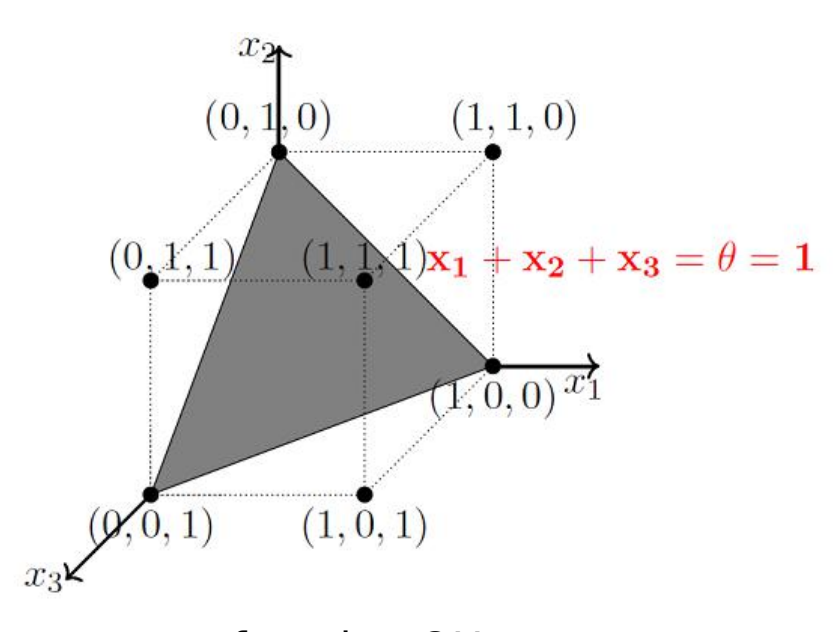
seuil b = 2



- frontière de décision (linéaire)
 - = ligne

fonction ET (grandes_pétales ET couleur_foncée)

Frontière de décision : OU, 3 entrées

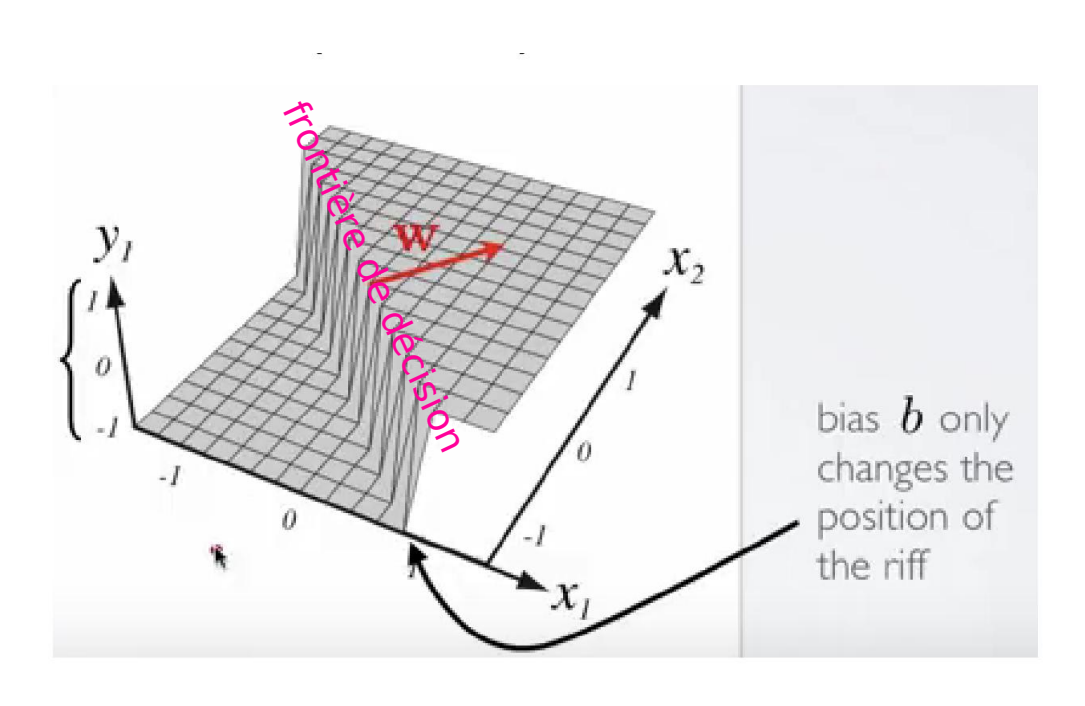


frontière de décision(linéaire)plan

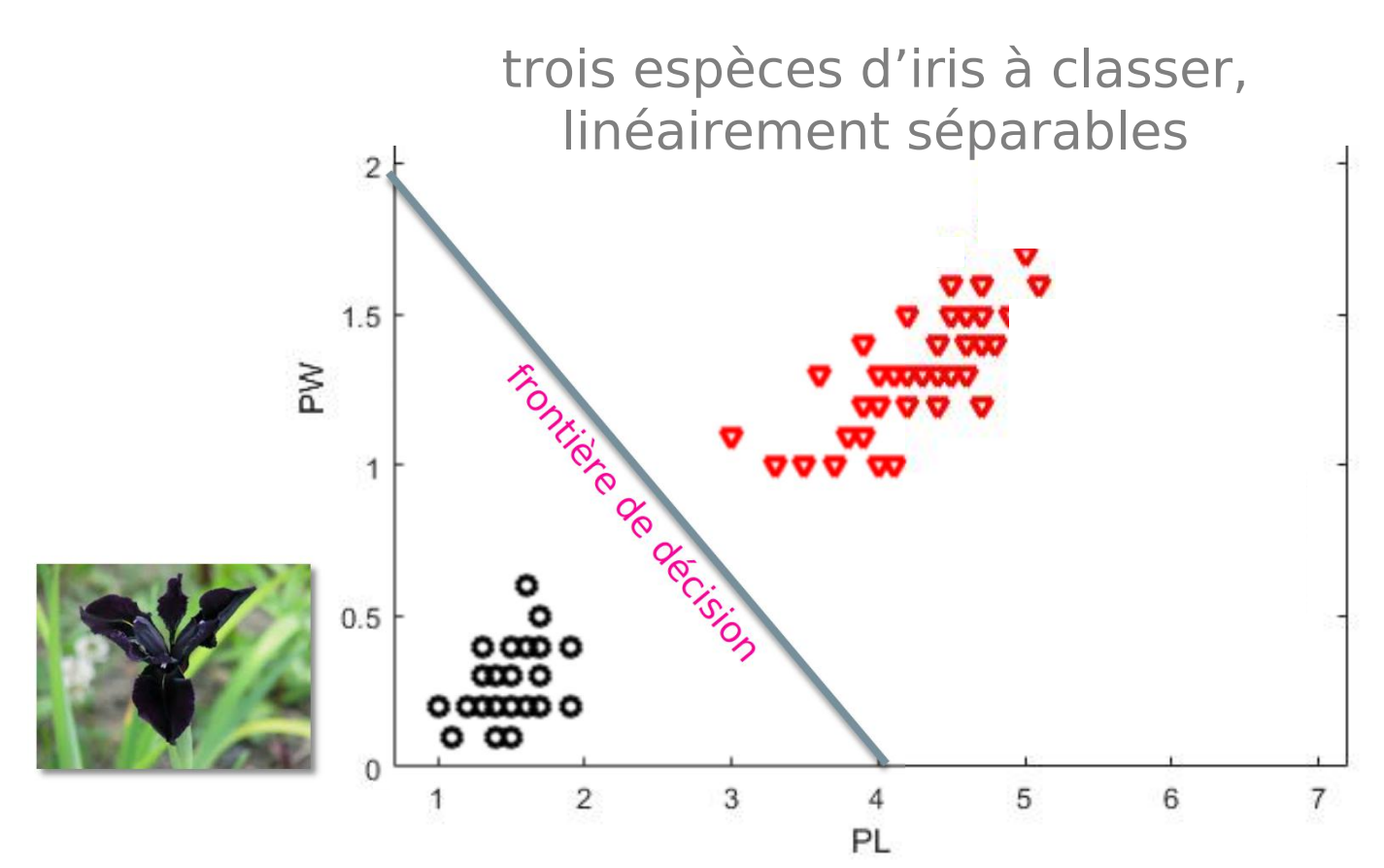
.

seuil
$$b = 1$$
 fonction OU (grandes_pétales OU grandes_étamines OU ...)

Fonctions scalaires

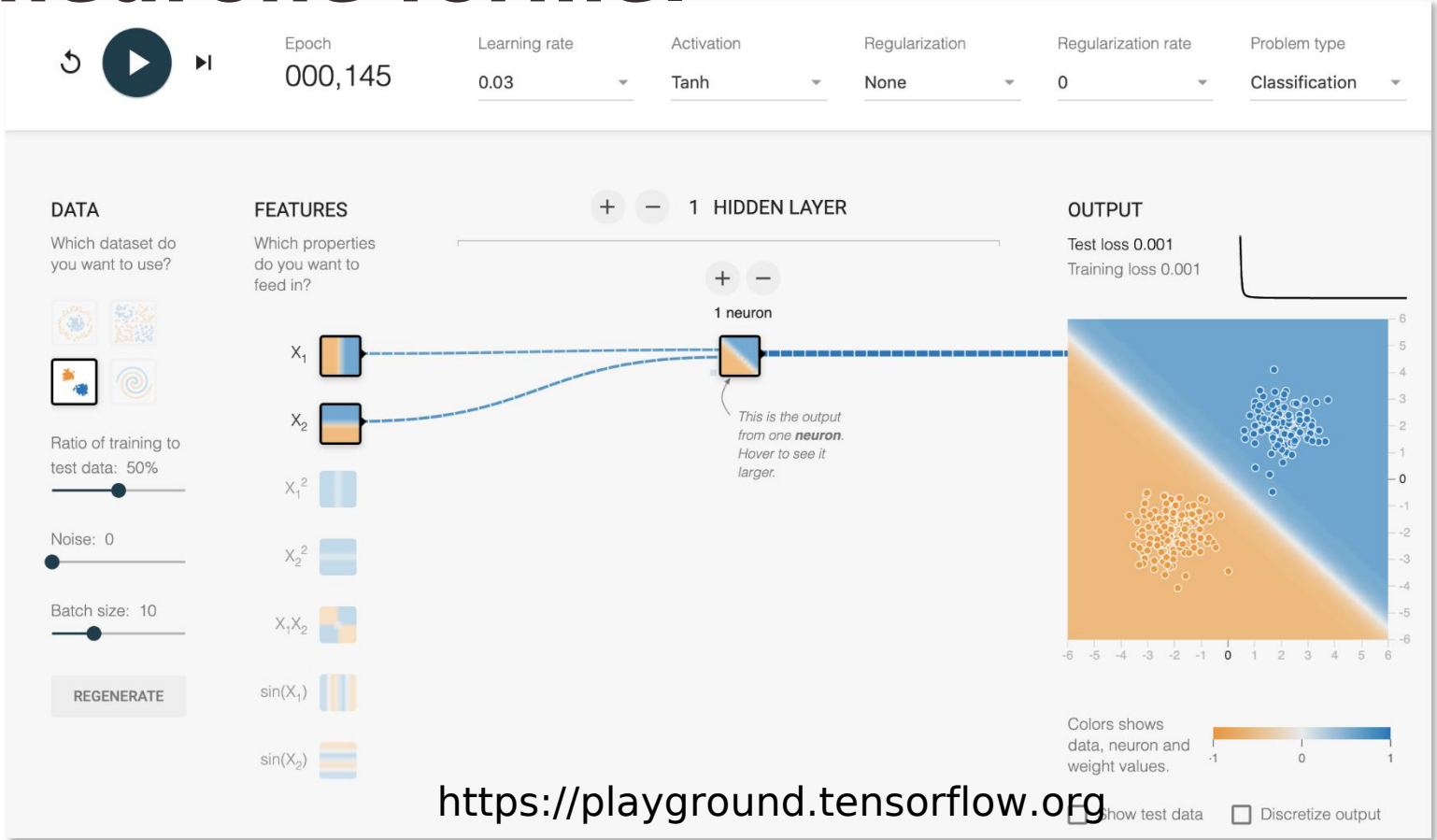


- L'entrée x a deux dimensions
- La sortie ŷ est prédite par le neurone formel
- \hat{y} = probabilité d'être dans la classe 1, la classe positive, sachant l'entrée x



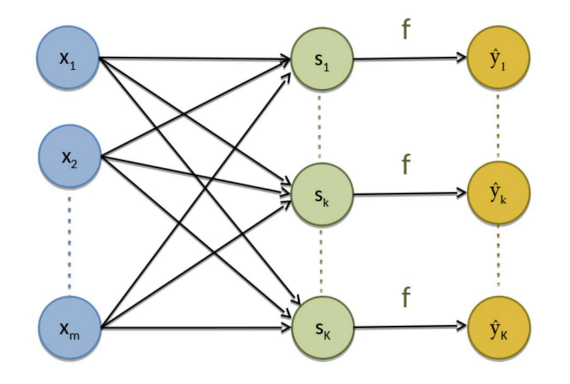


Simulation de l'apprentissage : neurone formel

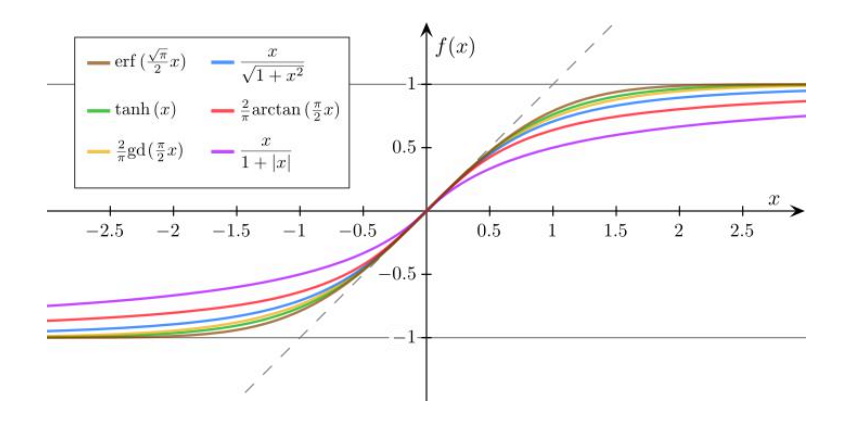


Classification multiclasse: Perceptron

Frank Rosenblatt (1958), Minsky and Papert (1969)



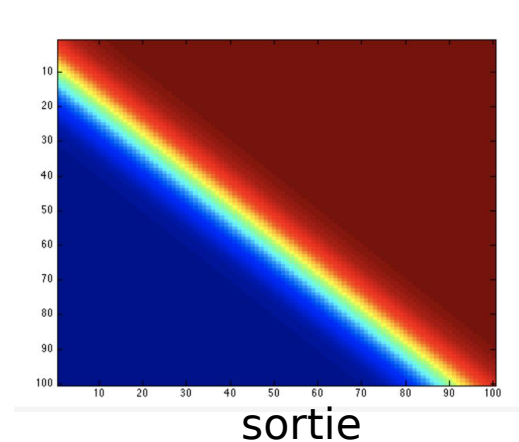
- Poids et entrées à valeurs réelles
- Assemblage de neurones formels
- Pour chaque neurone de sortie : $\hat{y}_k = \text{probabilité d'être dans la classe } k \text{ connaissant l'entrée } x$
- Fonction d'activation f softmax

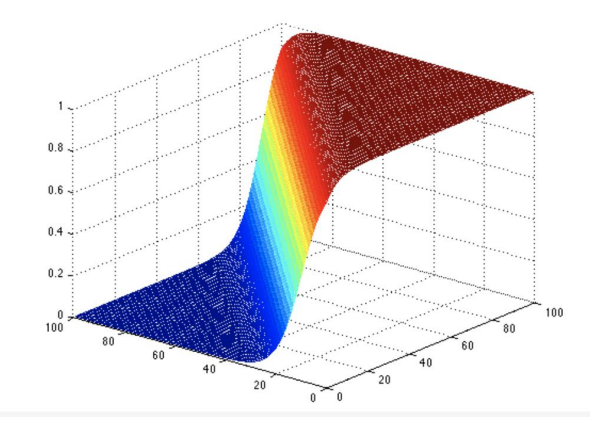


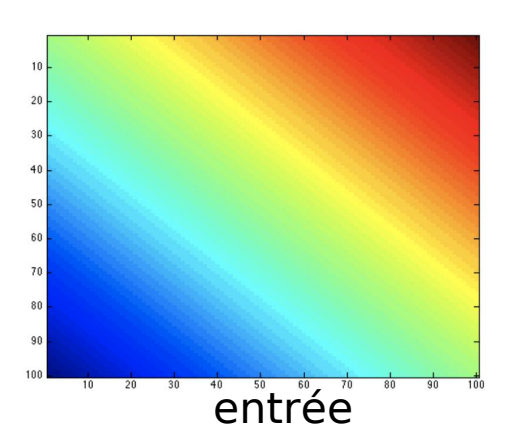


- ▶ 2d example: m = 2, $\mathbf{x} = \{x_1, x_2\} \in [-5; 5] \times [-5; 5]$
- ▶ Linear mapping: $\mathbf{w} = [1; 1]$ and b = -2
- Result of linear mapping : $s = \mathbf{w}^T \mathbf{x} + b$
- Sigmoid activation function:

$$\hat{y} = (1 + e^{-a(\mathbf{w}^{\mathsf{T}}\mathbf{x} + b)})^{-1}, \ a = 1$$

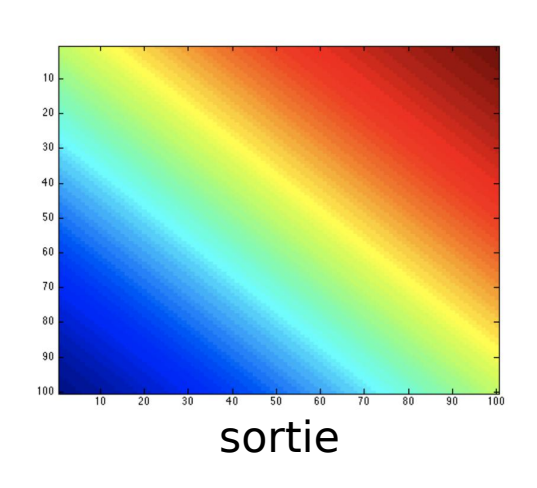


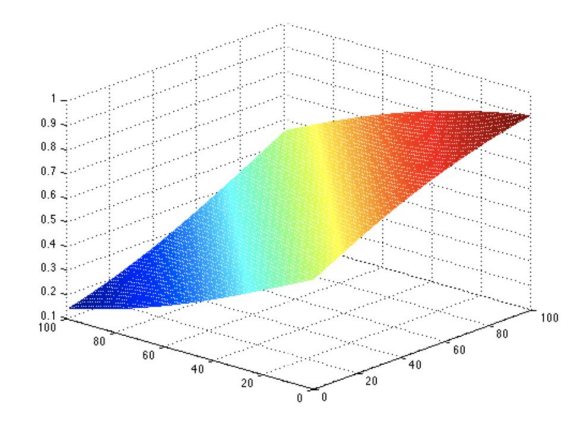


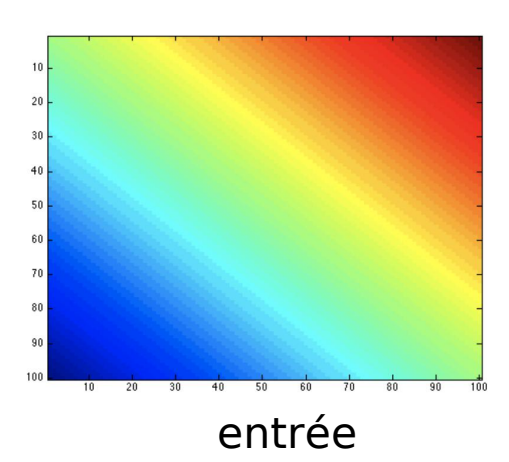


- ▶ 2d example: m = 2, $\mathbf{x} = \{x_1, x_2\} \in [-5; 5] \times [-5; 5]$
- Linear mapping: $\mathbf{w} = [1; 1]$ and b = -2
- Result of linear mapping : $s = \mathbf{w}^T \mathbf{x} + b$
- Sigmoid activation function:

$$\hat{y} = (1 + e^{-a(\mathbf{w}^{T}\mathbf{x}+b)})^{-1}, \ a = 0.1$$

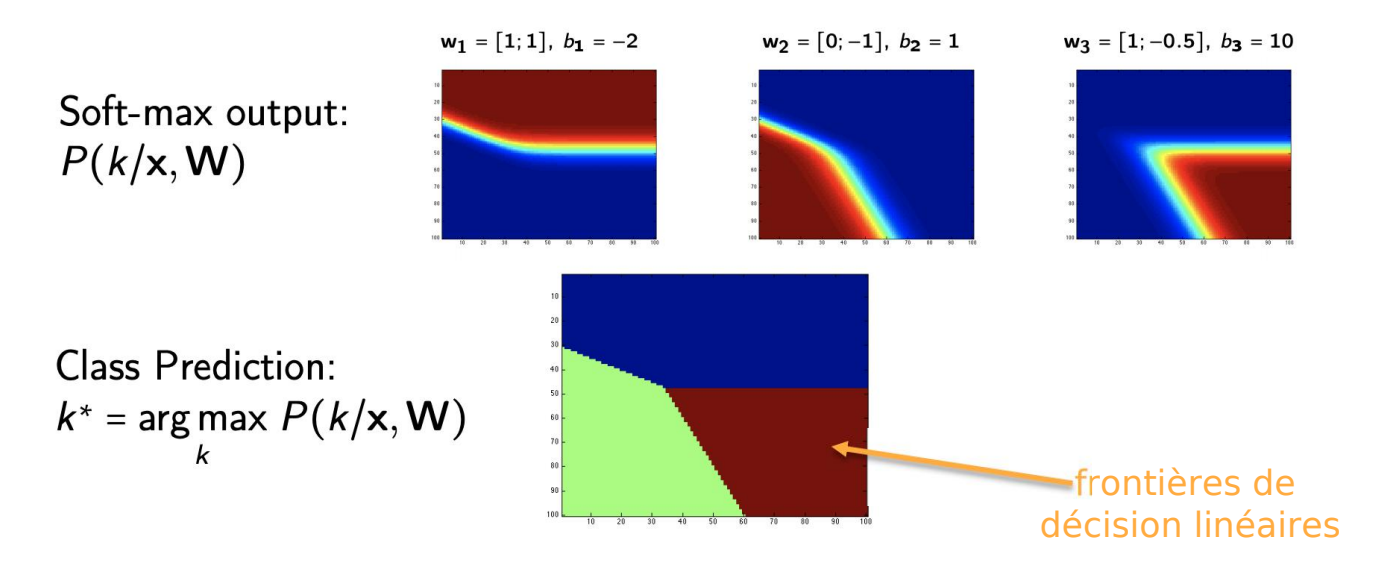


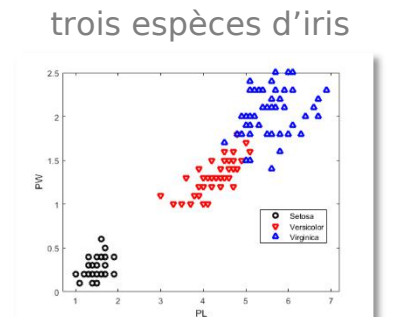




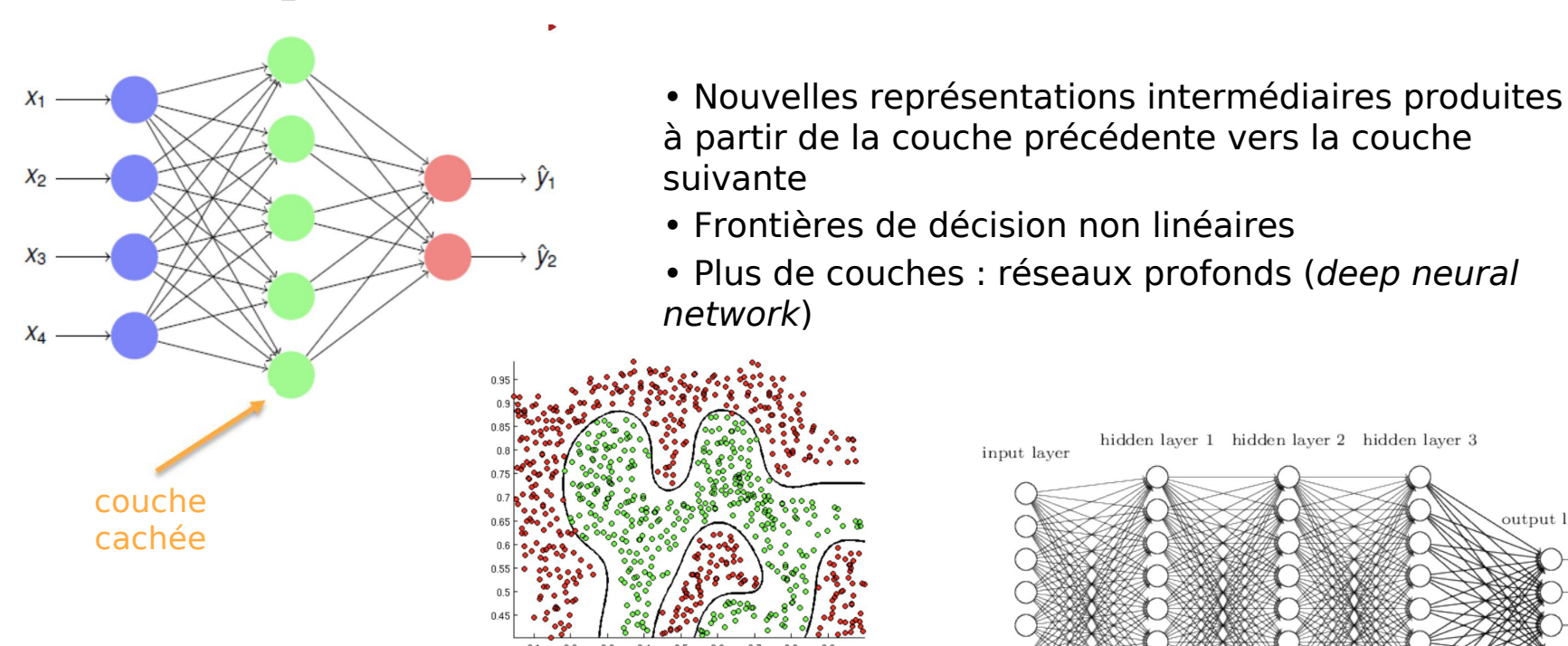
Classification multiclasse: Perceptron

• $\mathbf{x} = \{x_1, x_2\} \in [-5; 5] \times [-5; 5], \ \hat{y}: 3 \text{ outputs (classes)}$





Classification multiclasse: Perceptron multicouche

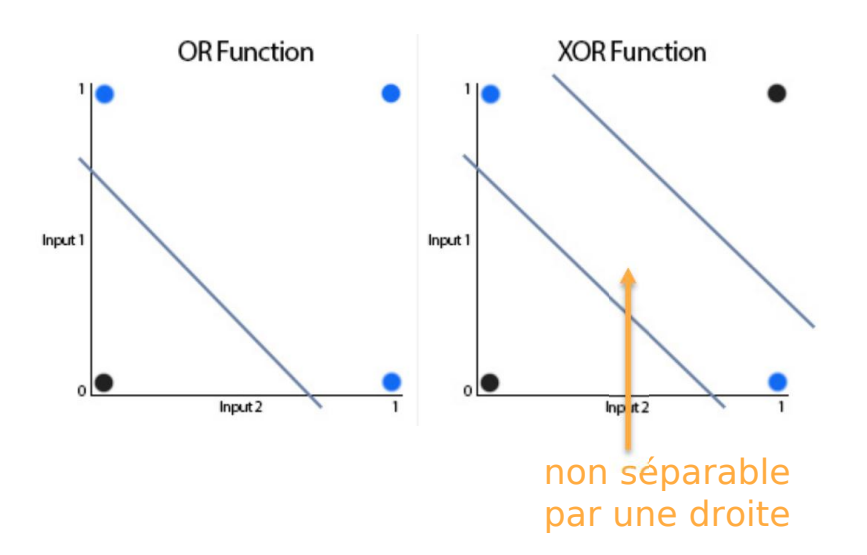


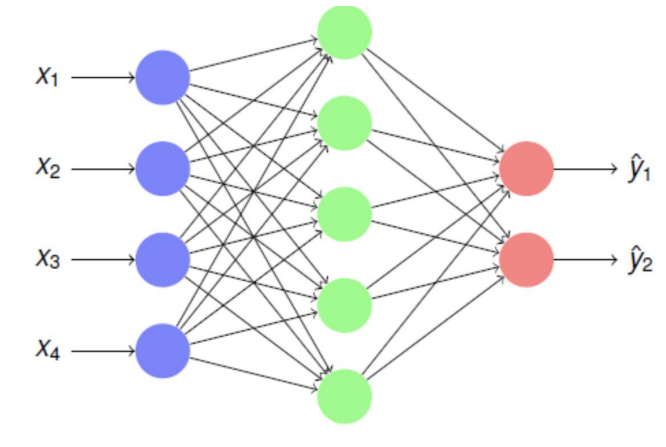
output laver

Classification multiclasse: fonction XOR

OU exclusif : sortie=1 que si exclusivement l'une ou l'autre des entrées vaut 1

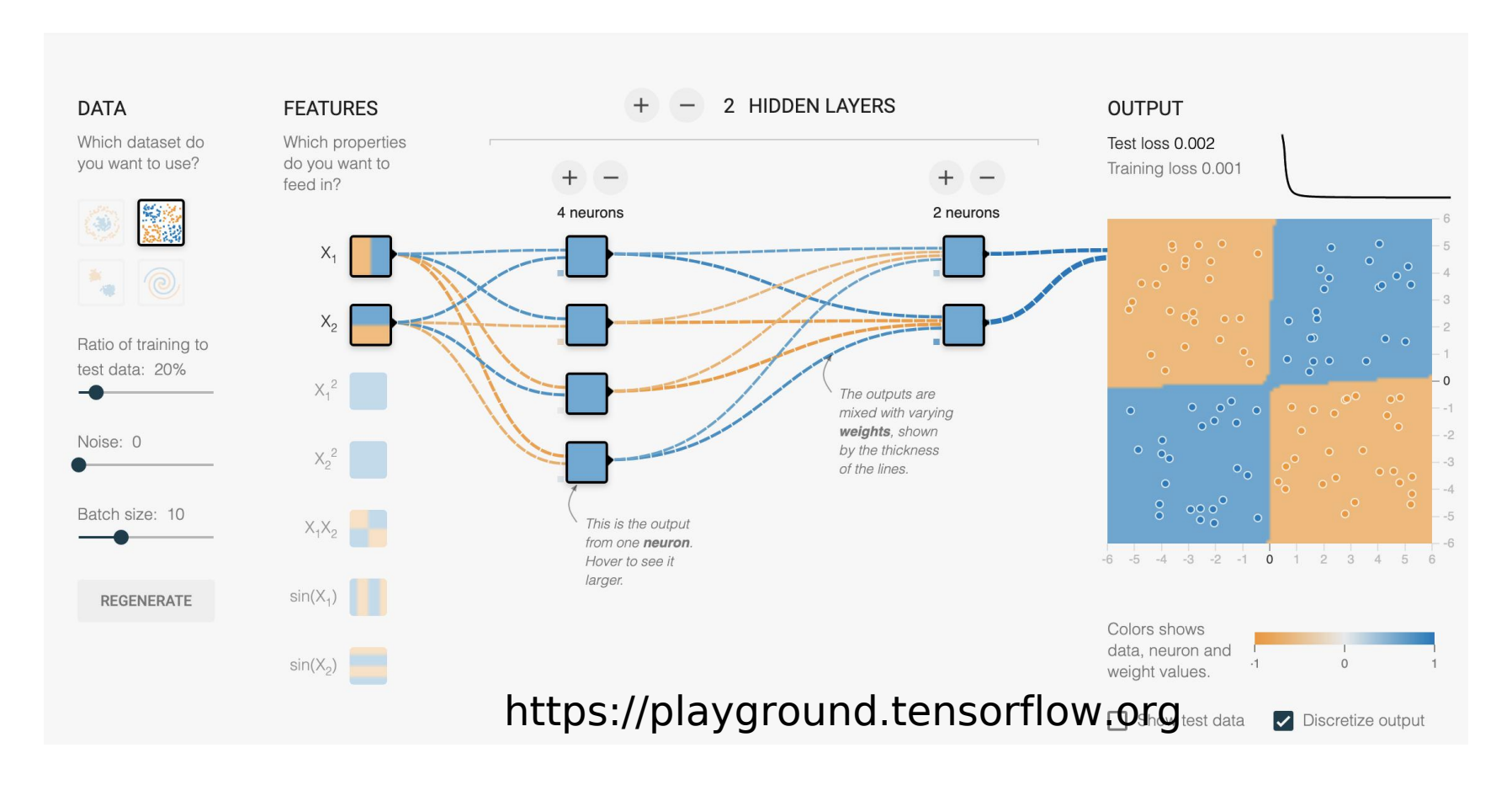
Minksy and Papert (1969) : ils pensaient que ce problème n'était pas modélisable par un réseau de neurones





- 4 neurones
- une couche cachée
- 2 classes en sortie

Simulation: XOR

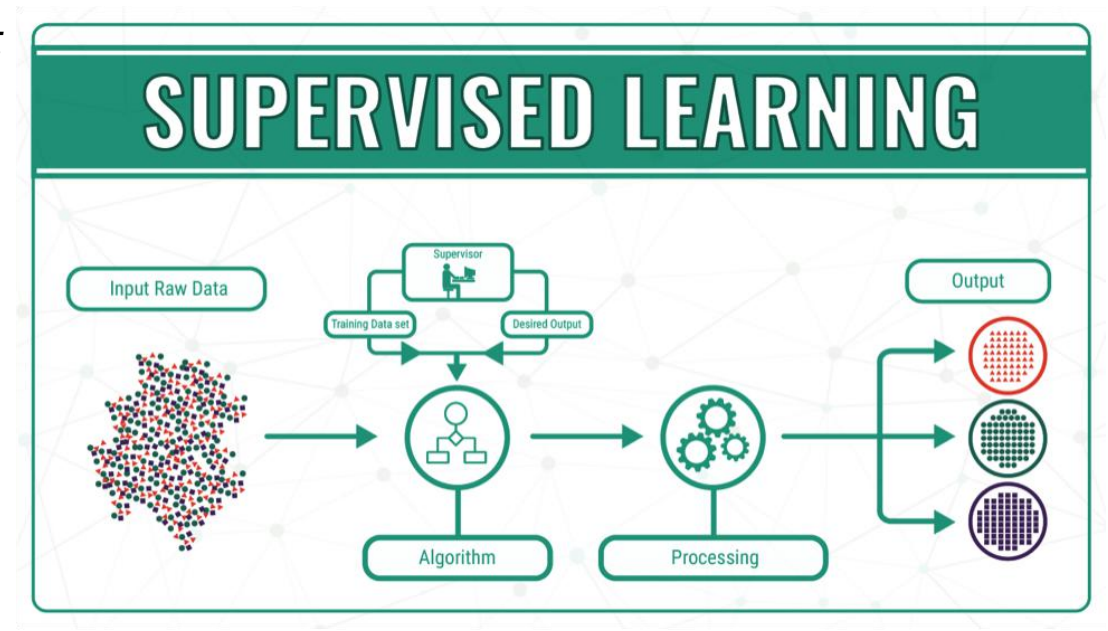


Apprentissage supervisé

Problème : déterminer la force optimale des connexions entre les neurones du réseau suivant le problème à résoudre

But : apprendre les paramètres du réseau à partir des données

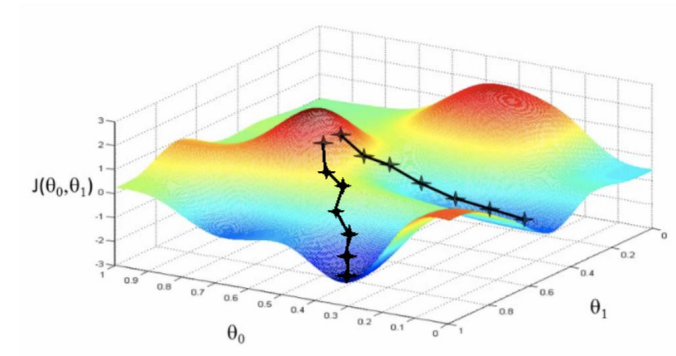
Méthode : algorithme de rétropropagation du gradient (1975,1985)



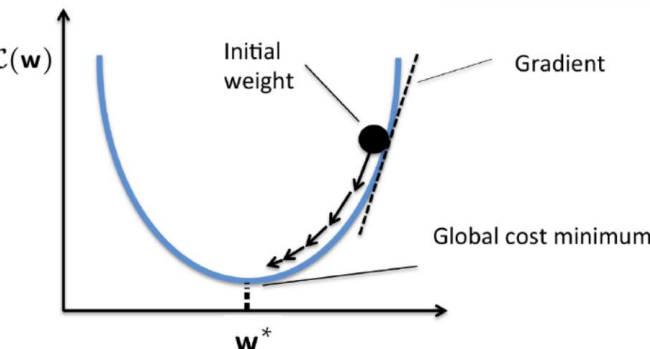
Algorithme de rétropropagation du gradient

Méthode

(a) on définit une fonction de coût, $(l \ell(\hat{y_i}, y_i^*))$ qui modélise la pénalisation entre la sortie prédite par le réseau et la sortie donnée par la supervision (b) on minimise la fonction de coût sur l'ensemble d'apprentissag (x_i, y_i^*) , soit la moyenne des fonctions de coût sur les différents exemples d'apprentissage (gradient de la fonction de coût)

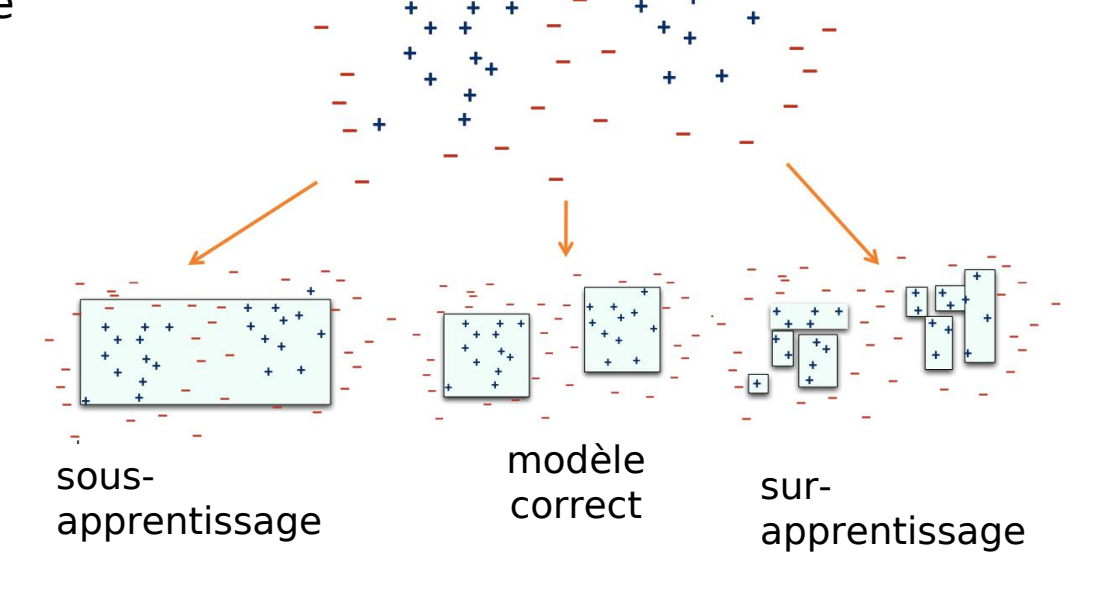


$$\mathcal{L}(\mathbf{w}) = \frac{1}{N} \sum_{i=1}^{N} \ell(\hat{\mathbf{y}}_i, \mathbf{y}_i^*)$$



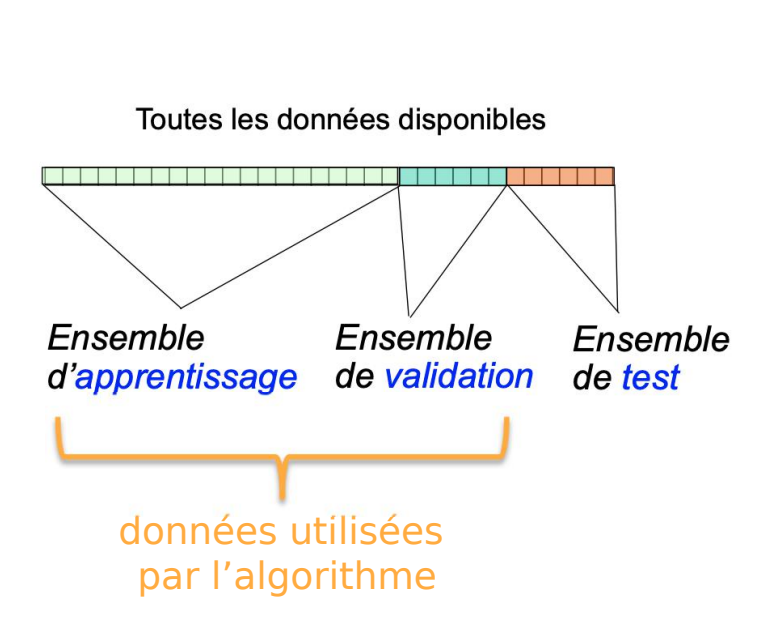
gradient

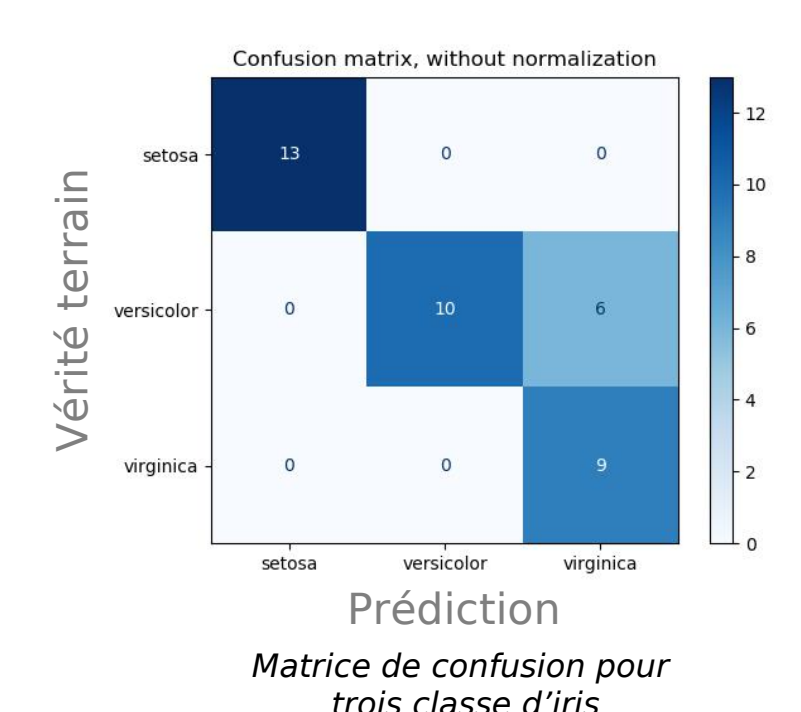
- Algorithme itératif
- Initialisation des poids aléatoires
- Choix de la fonction de coût
- Arrêt de la convergence
- Optimisation
- Sur-apprentissage



Evaluation des performances

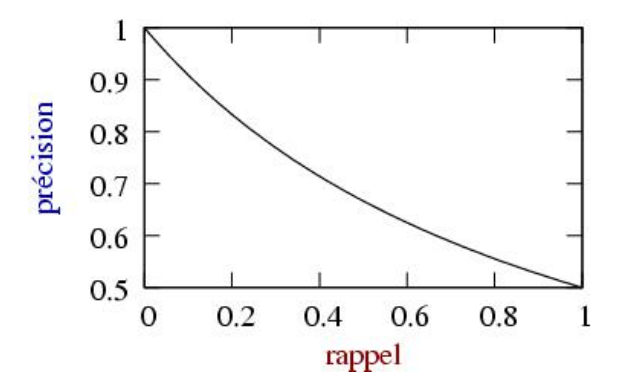
- Ensemble de données labelisées (vérité terrain)
- Evaluation empirique des performances (sur l'ensemble de test)
- Matrice de confusion

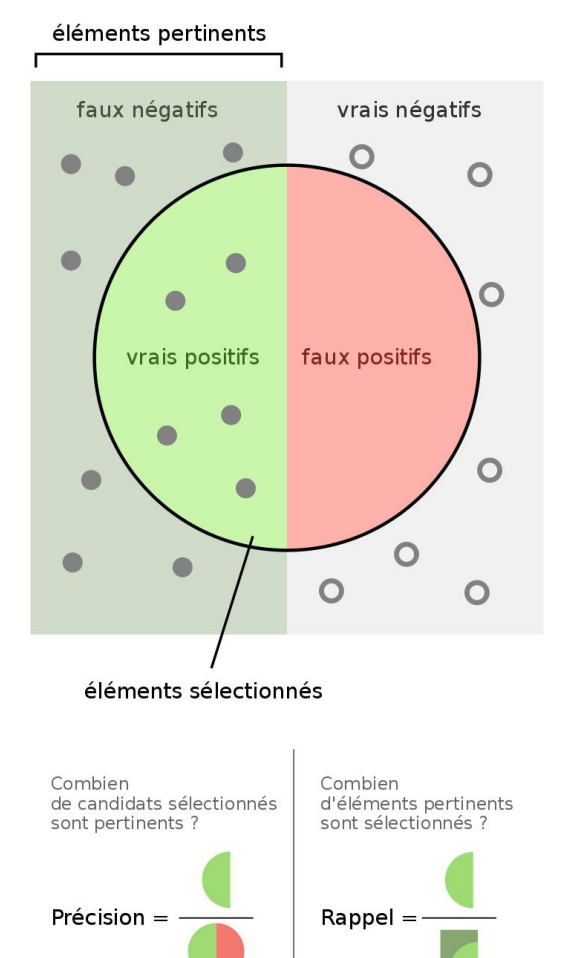




Evaluation des perforr

- FP, FN, TP, TN
- Métriques : taux de rappel et taux de précision
- Score F (moyenne harmonique de la précision et du rappel)
- Compromis rappel/précision



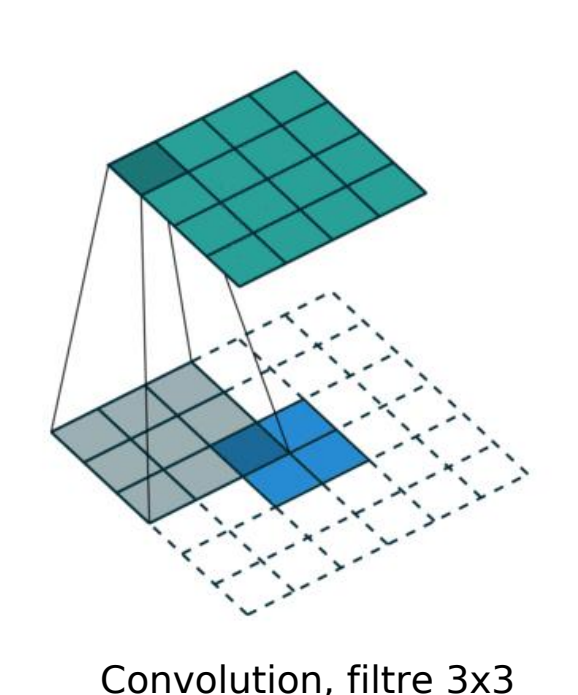


CNN (convolutional neural network)

Les réseaux neuronaux convolutifs « simulent » le cortex visuel animal (chevauchement des neurones lors du pavage du champ visuel). Le réseau produit des descripteurs de plus en plus « abstraits ».

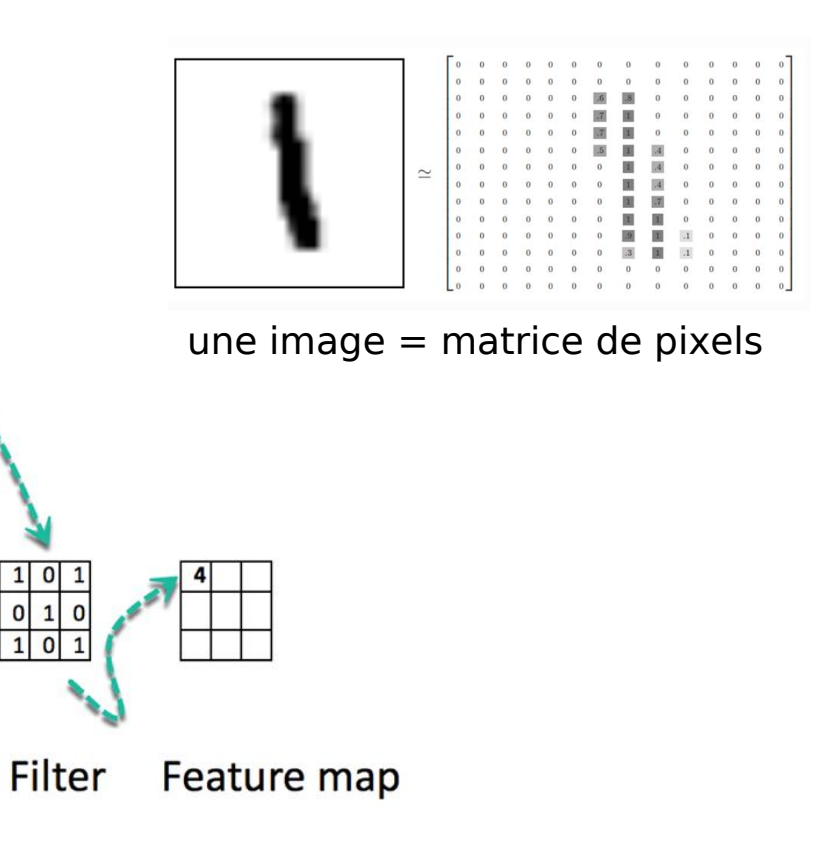
Le classifieur final produit des classes (textuelles) empilage multicouche de perceptrons Classe 1 Classe 2 Classe N descripteu descripteu rs locaux r global

Convolution et filtres

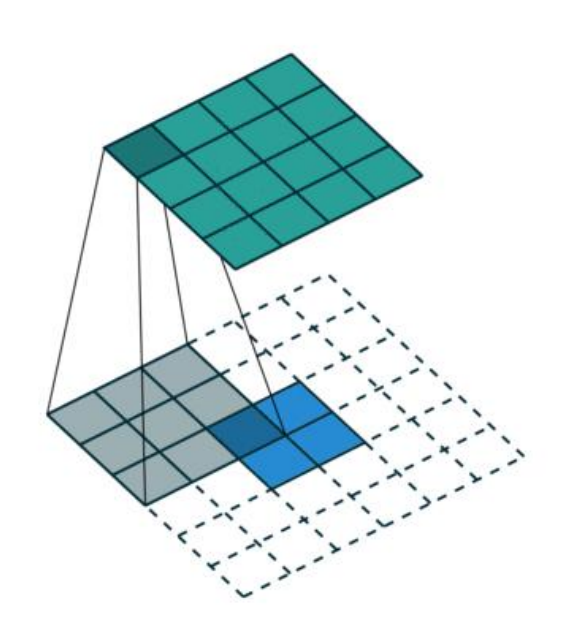


Application d'un filtre

Input image



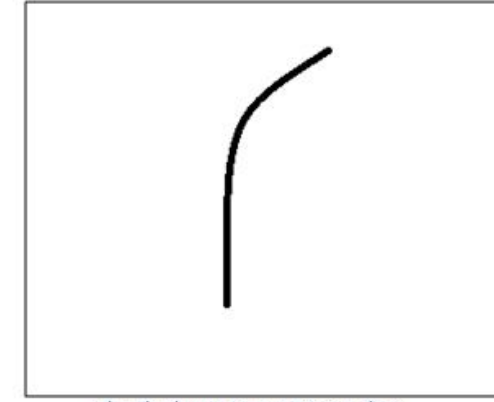
Exemple d'application d'un filtre



Convolution, filtre 3x3

0	0	0	0	0	30	0
0	0	0	0	30	0	0
0	0	0	30	0	0	0
0	0	0	30	0	0	0
0	0	0	30	0	0	0
0	0	0	30	0	0	0
0	0	0	0	0	0	0

Pixel representation of filter



Visualization of a curve detector filter

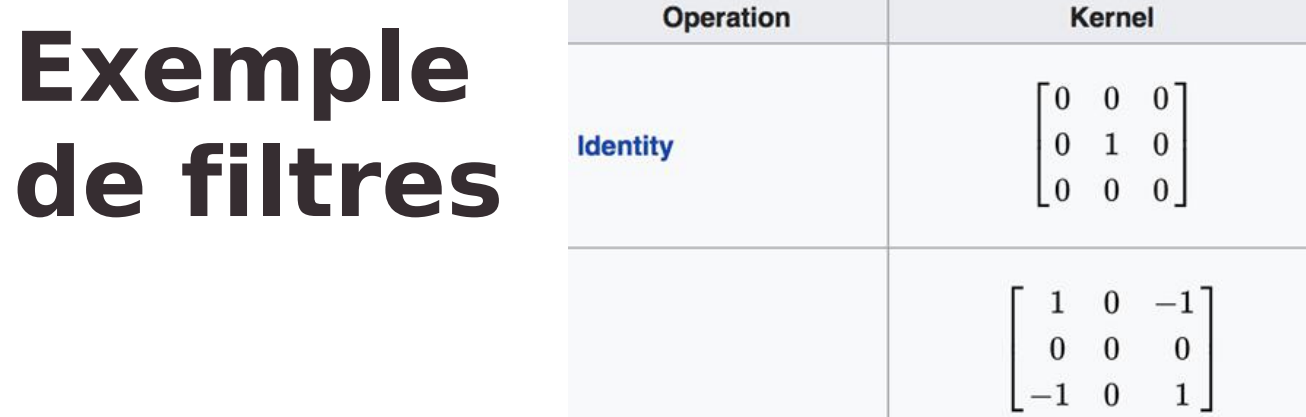
Filtre de détection de courbes penchées vers la droite (tige de fleur)

Exemple de filtre

S	



Image result

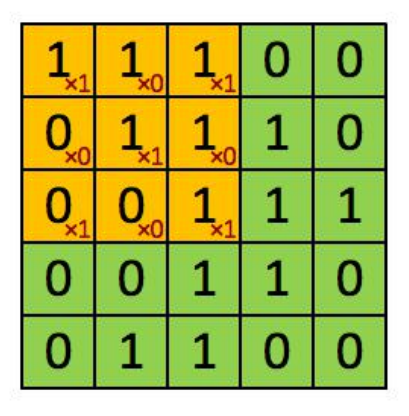


Sharpen

 $\begin{bmatrix} 0 & 1 & 0 \\ 1 & -4 & 1 \\ 0 & 1 & 0 \end{bmatrix}$ **Edge detection**



Convolution et filtres



4

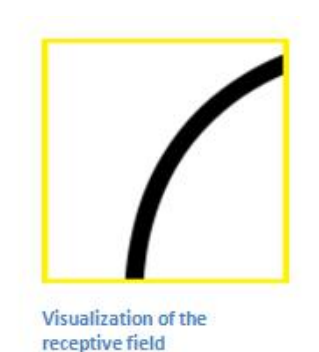
Image

Convolved Feature

Application de la convolution sur l'image et génération d'une carte de caractéristique

- réduction de la taille de l'image
- extraction des caractéristiques visuelles
- suppression du bruit

Exemple d'application d'un filtre



0	0	0	0	0	0	30
0	0	0	0	50	50	50
0	0	0	20	50	0	0
0	0	0	50	50	0	0
0	0	0	50	50	0	0
0	0	0	50	50	0	0
0	0	0	50	50	0	0

*

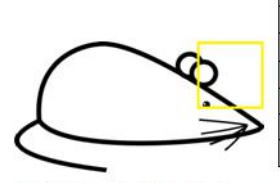
0	0	0	0	0	30	0
0	0	0	0	30	0	0
0	0	0	30	0	0	0
0	0	0	30	0	0	0
0	0	0	30	0	0	0
0	0	0	30	0	0	0
0	0	0	0	0	0	0

Pixel representation of the receptive field

Pixel representation of filter

Multiplication and Summation = (50*30)+(50*30)+(50*30)+(20*30)+(50*30)=6600 (A 'arge number!)

Application à une portion d'image : détection de la courbe



Visualization	of the	filter	on	the	image
---------------	--------	--------	----	-----	-------

0	0	0	0	0	0	0
0	40	0	0	0	0	0
40	0	40	0	0	0	0
40	20	0	0	0	0	0
0	50	0	0	0	0	0
0	0	50	0	0	0	0
25	25	0	50	0	0	0

Pixel representation of receptive field

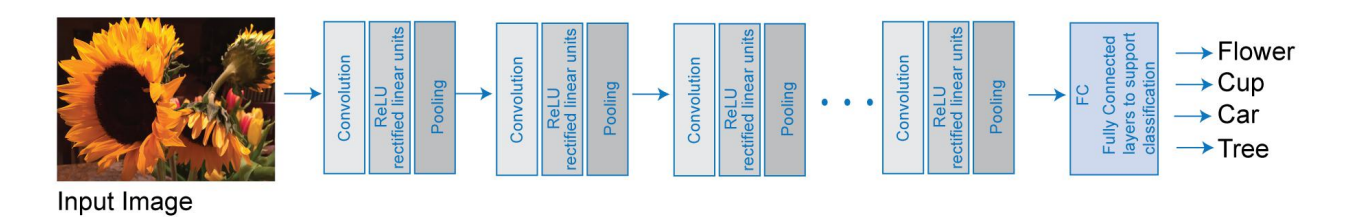
0	0	0	0	0	30	0
0	0	0	0	30	0	0
0	0	0	30	0	0	0
0	0	0	30	0	0	0
0	0	0	30	0	0	0
0	0	0	30	0	0	0
0	0	0	0	0	0	0

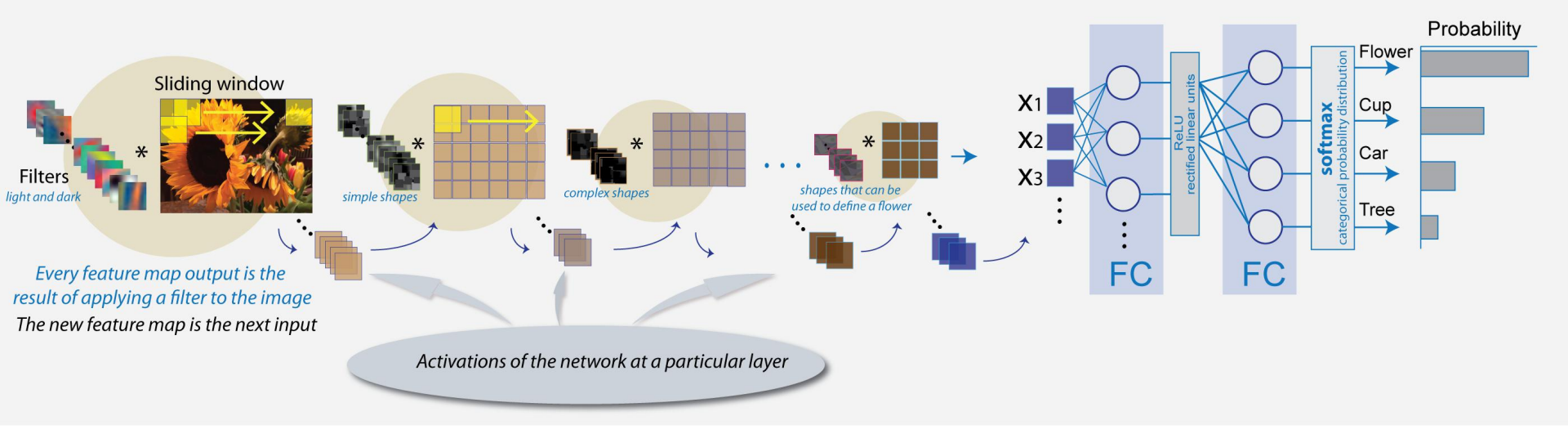
Pixel representation of filter

Multiplication and Summation = 0



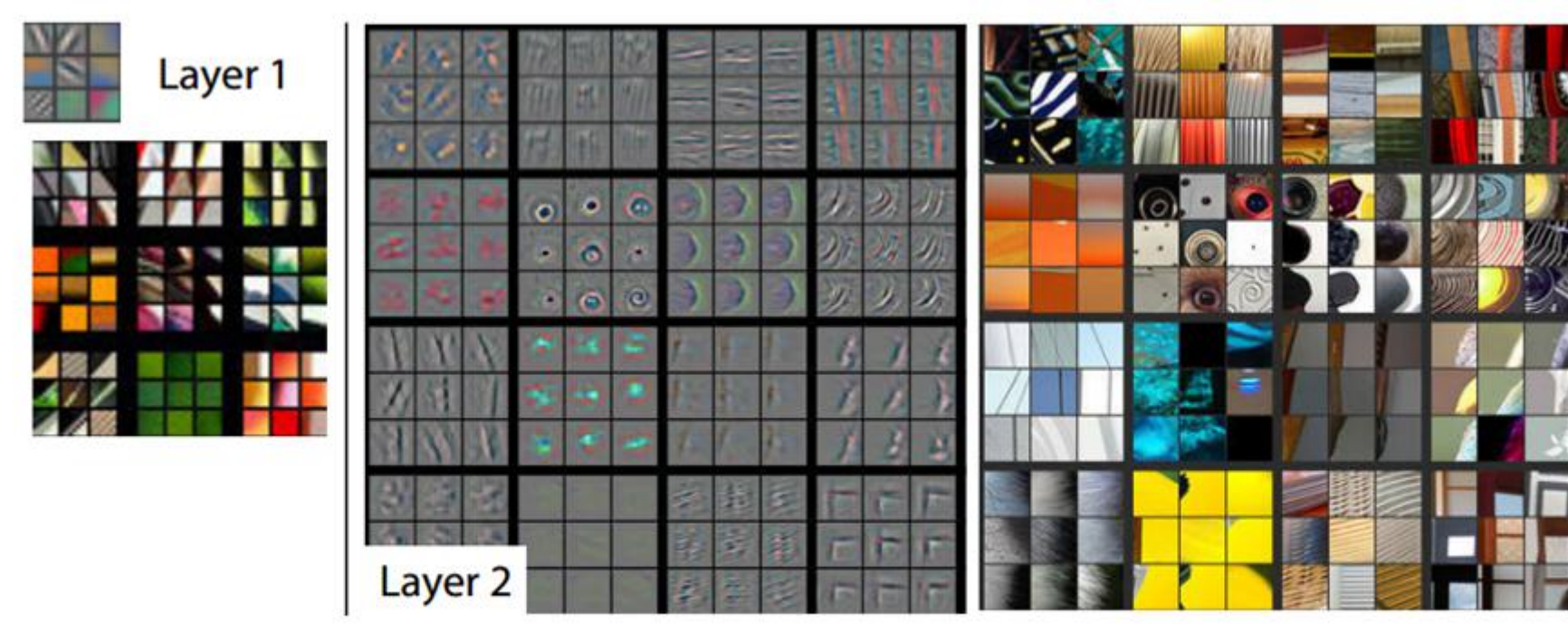
CNN: architecture

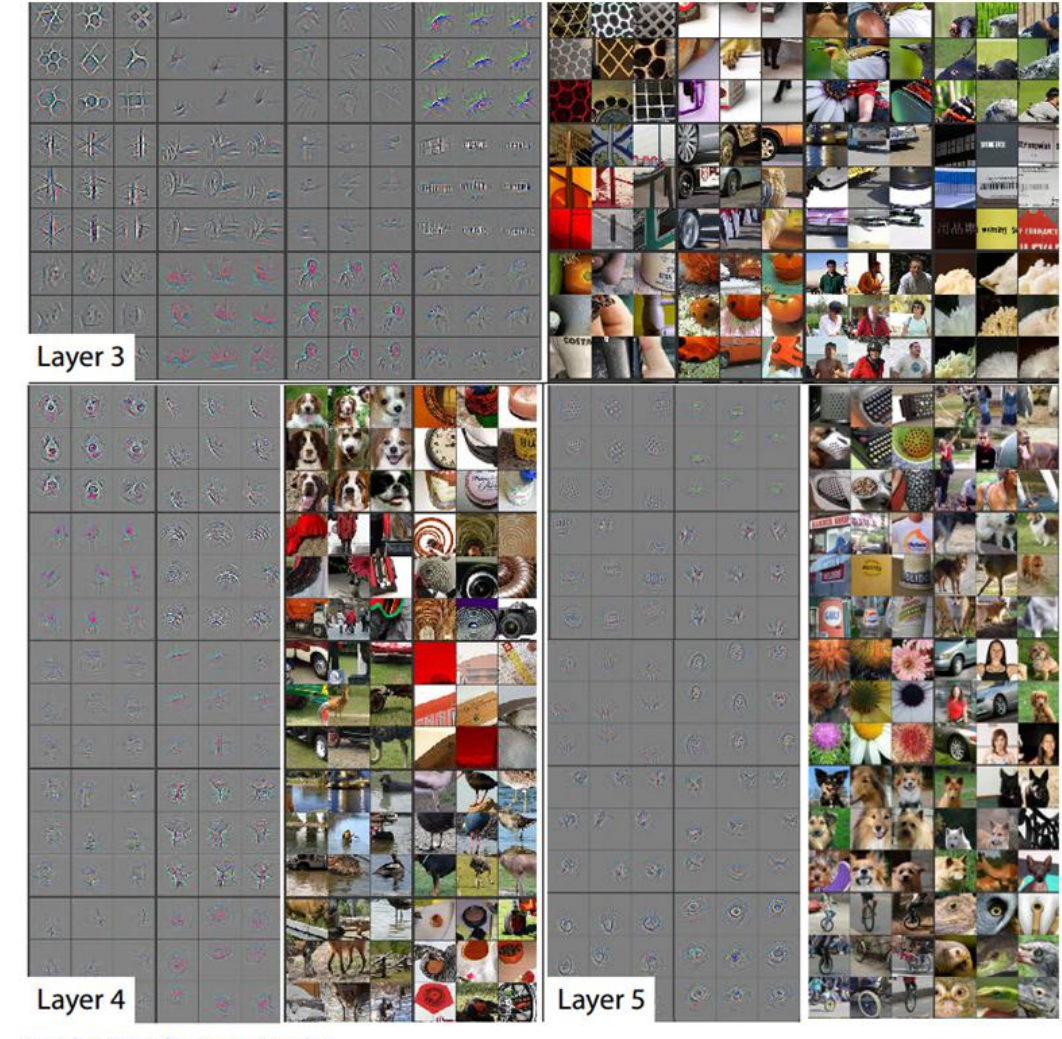




CNN: extraction de caractéristiques • Première couche : extraction de caractéristiques élémentaires (contours,

- aplats)
- Les couches supérieures agrègent ces caractéristiques pour détecter des formes plus complexes

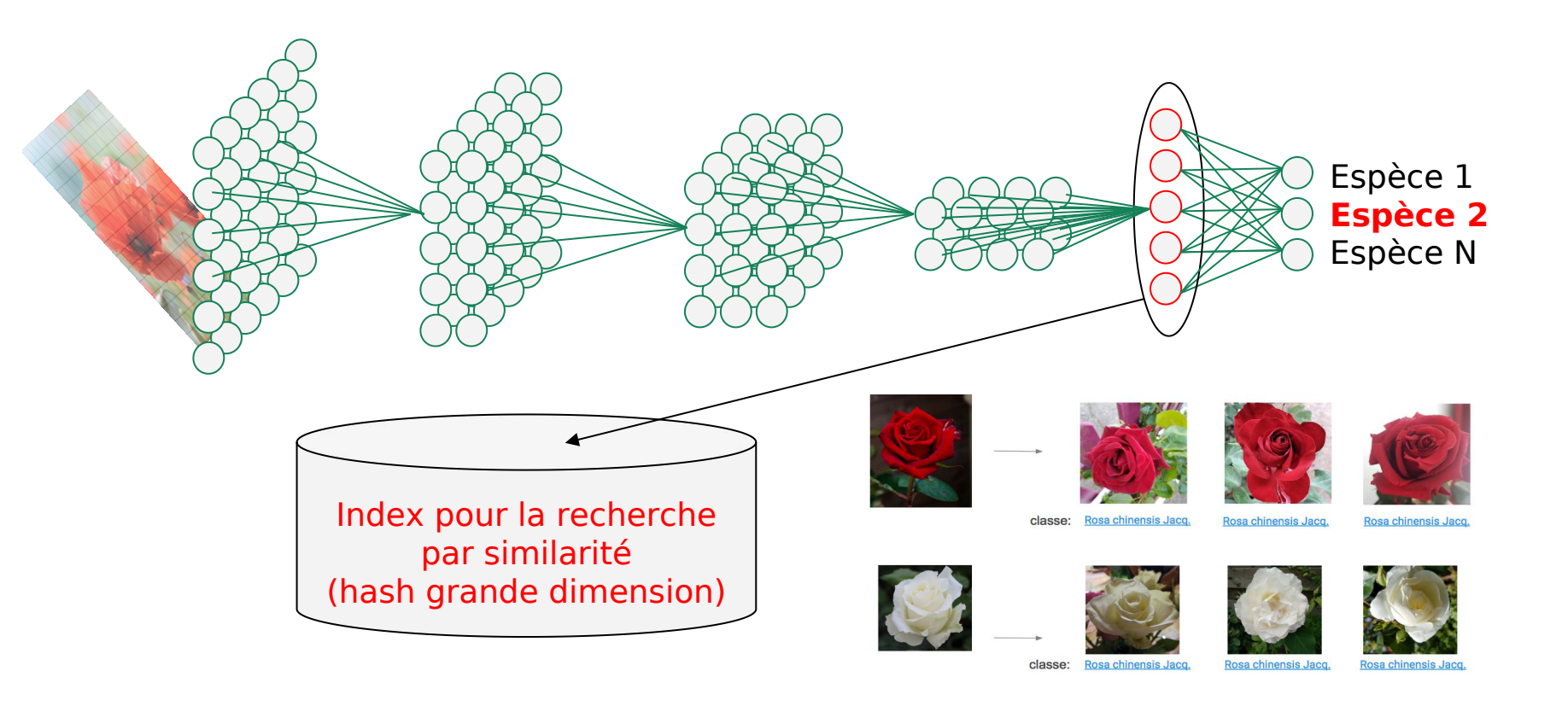




Visualizations of Layers 3, 4, and 5

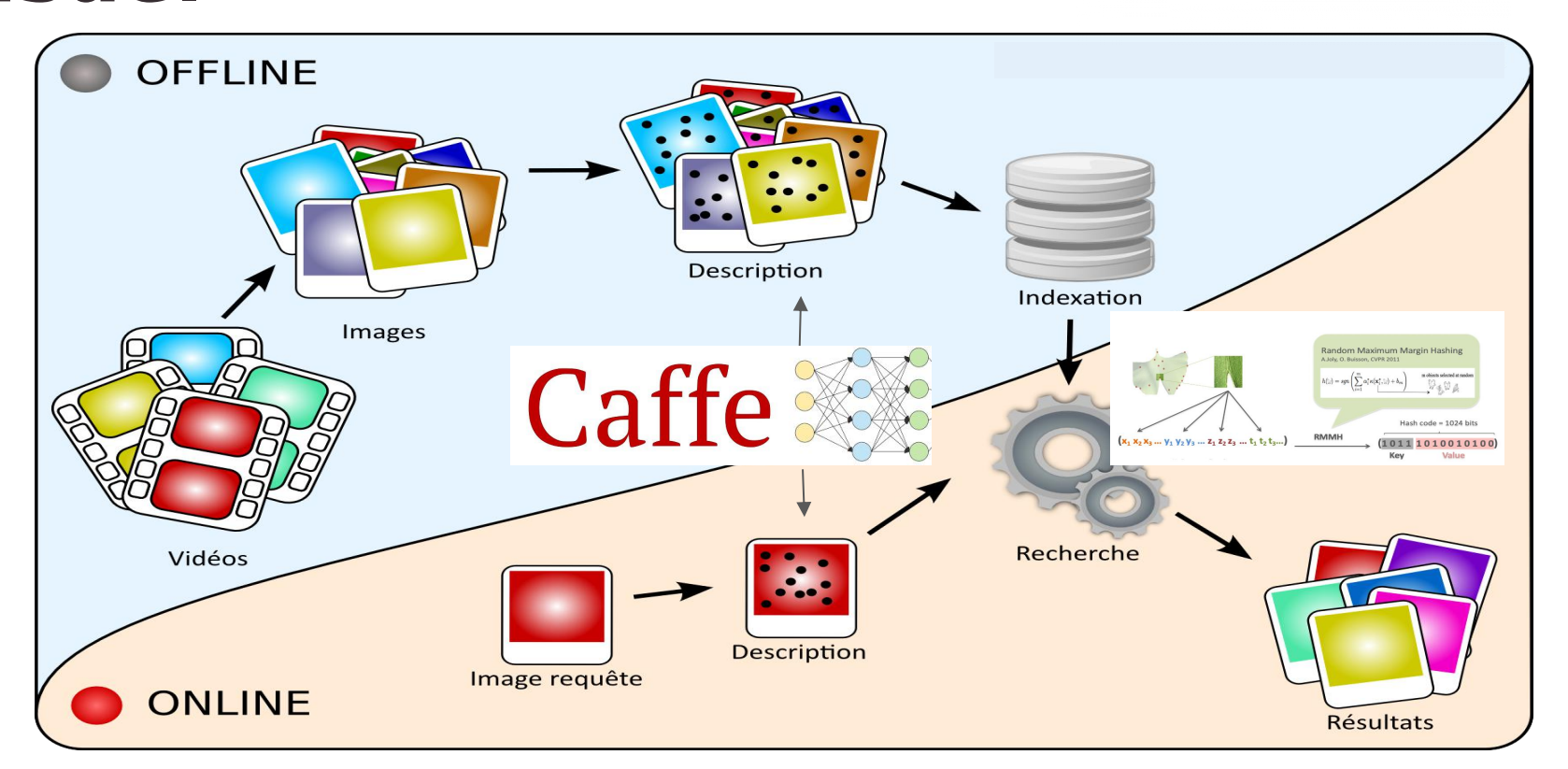
Exemple Snoop





Snoop: moteur de recherche visuel

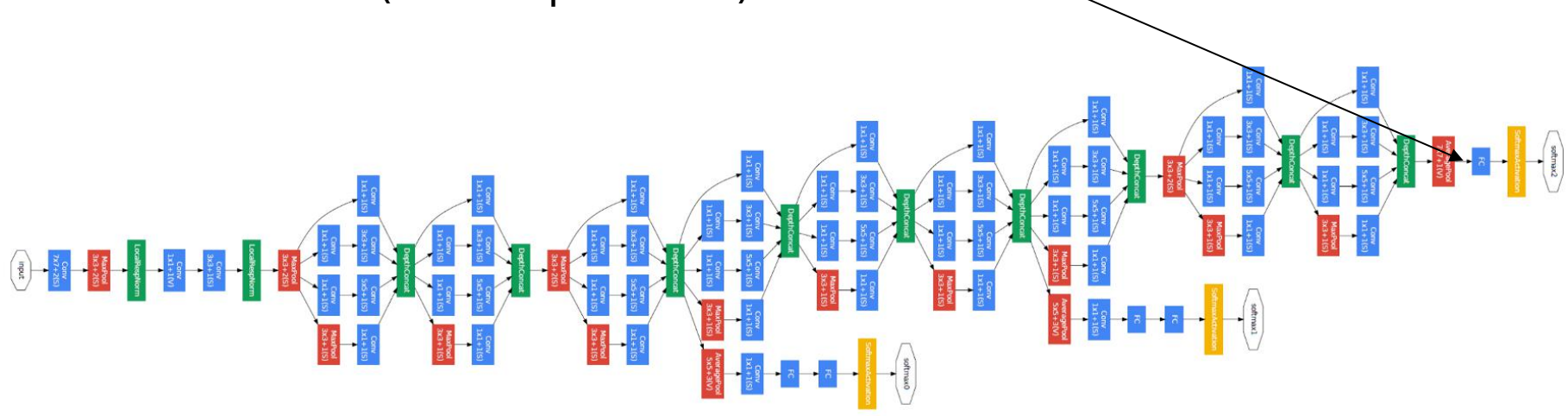




Ajout du deep learning en 2016

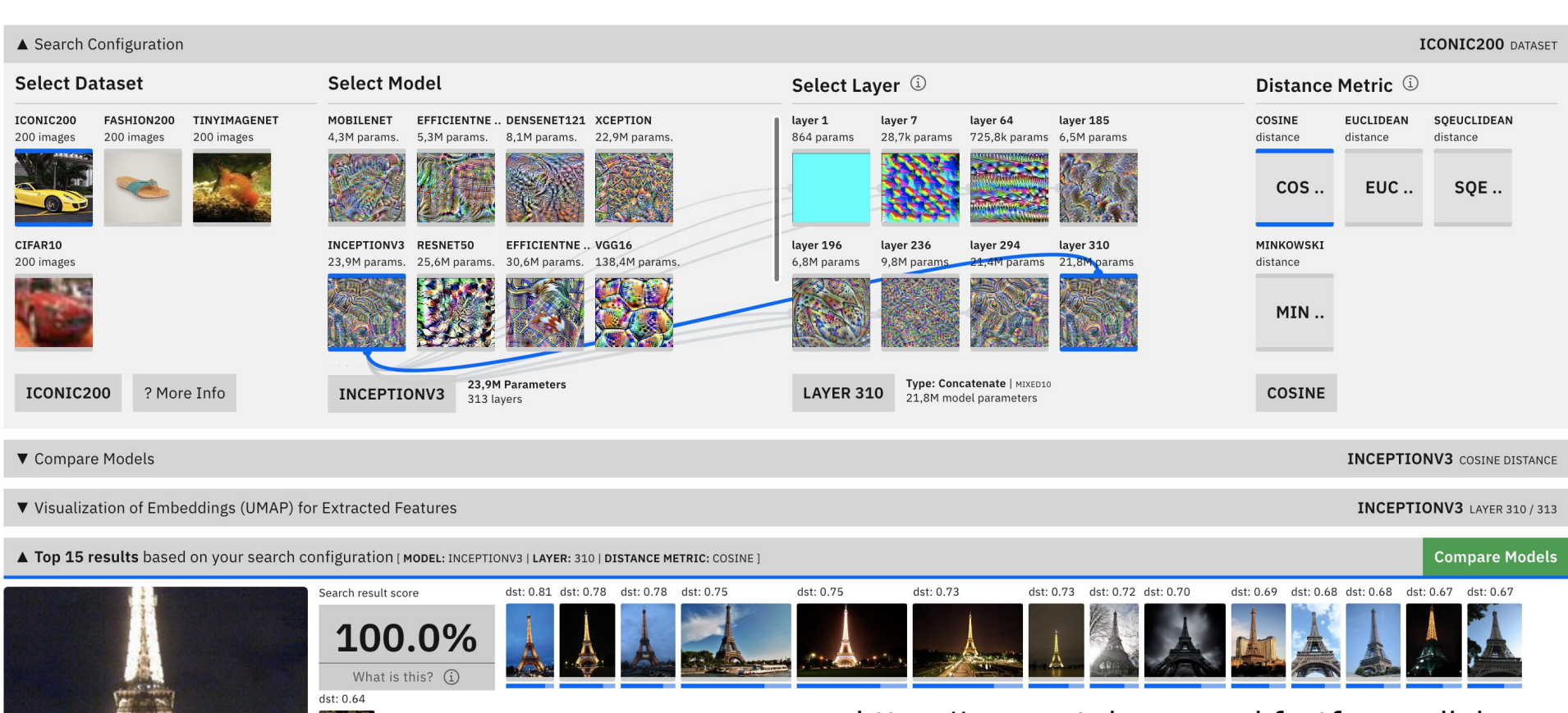
Snoop: configuration PlantNet

 Extraction de caractéristiques : Inception v2, dernière couche (pré-classifieur), vecteur de caractéristiques de 1 024 dimensions (double précision)



Simulation CNN

SELECTED IMAGE EIFFELTOWER



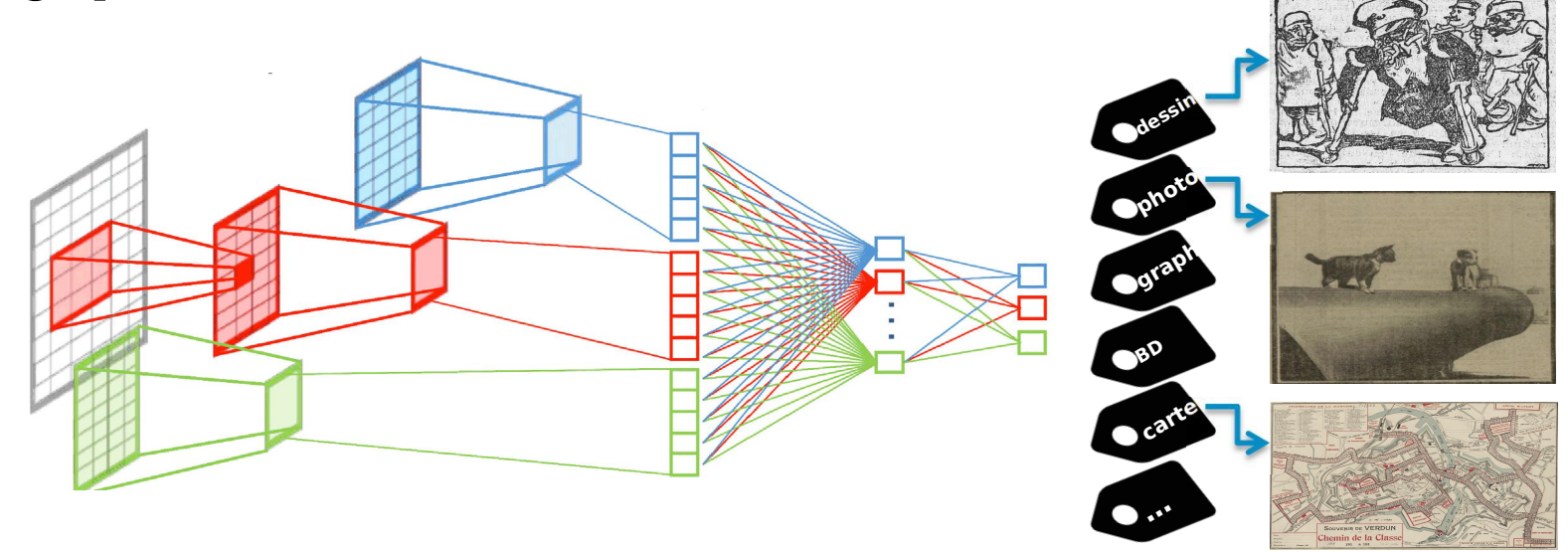
https://convnetplayground.fastforwardlabs.con

BnF: classification de types

d'image • Classification avec un réseau de neurones artificiels convolutionnel et une approche par « transfer learning »

• Identification du « **type** » des illustrations (photos, dessins, cartes,

BD, graphes et schémas...)



Classification de genres



- **Transfer learning** : seule la dernière couche du réseau est réentrainée sur un jeu de données Gallica (**12 classes**)
- 4 classes de « bruit » : couverture, page blanche, ornement, texte



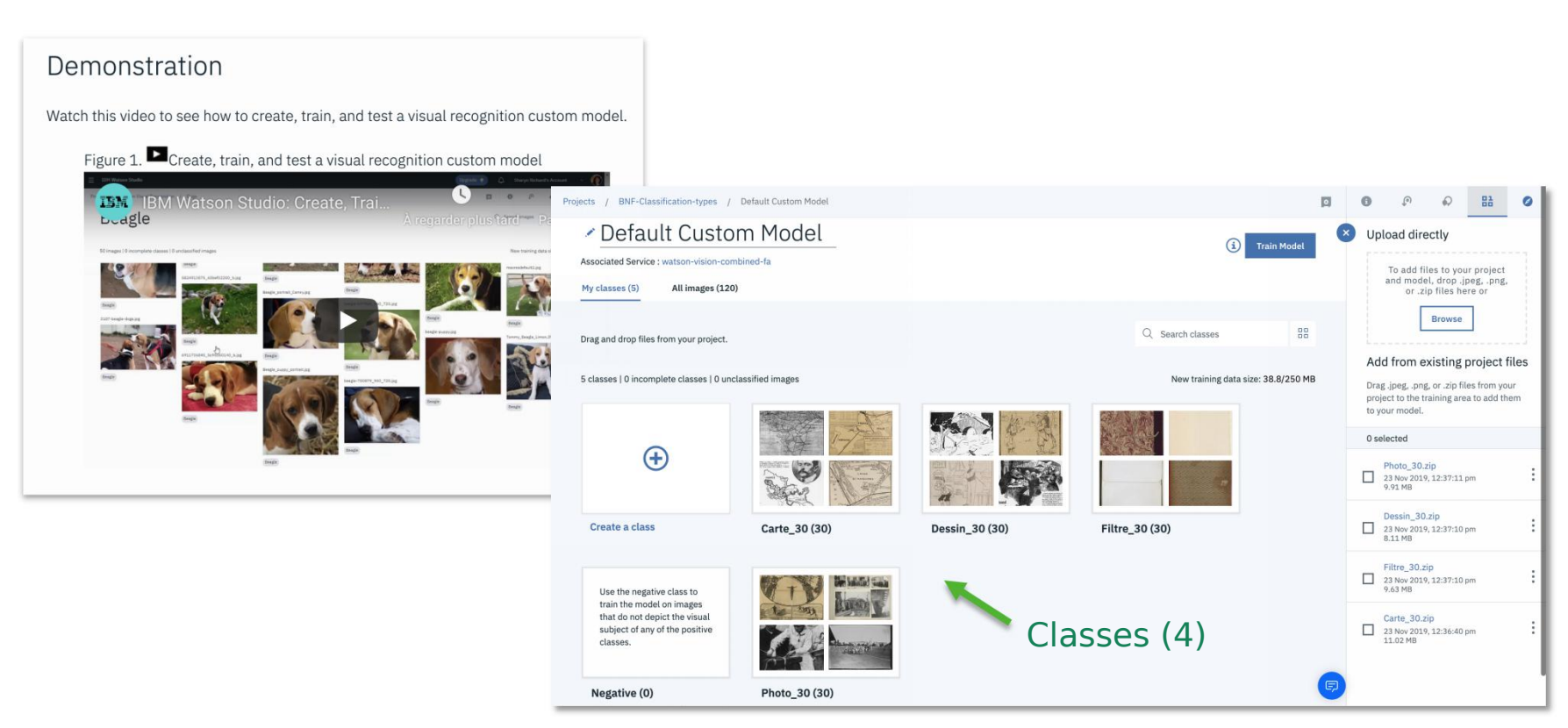


Classification avec Watson Studio ou Google AutoML

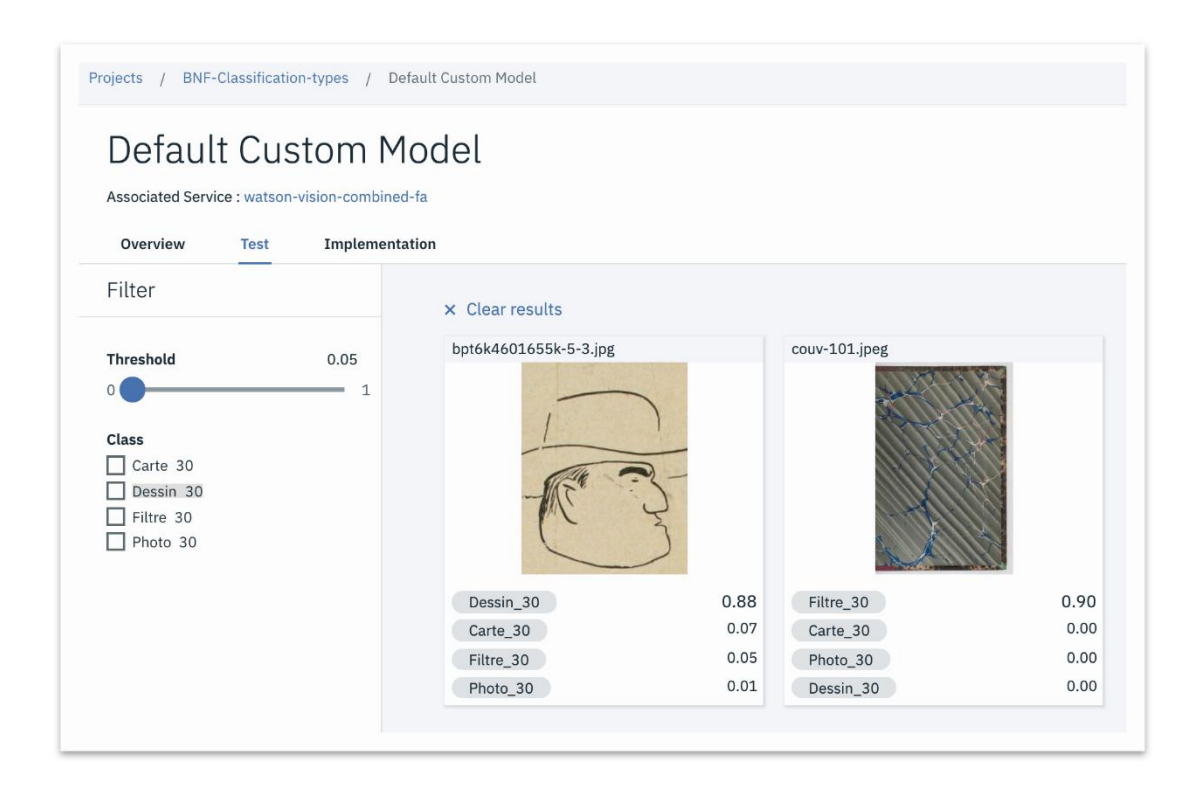
- 1. Préparer des images (*x* par classe, 10 mini pour Watson, un zip par classe)
- 2. Entraîner le modèle de classification
- 3. Evaluer, tester
- 4. Utiliser le modèle :
- dans l'écosystème IBM/Google
- Apple CoreML (IBM)
- avec du code (via les API)

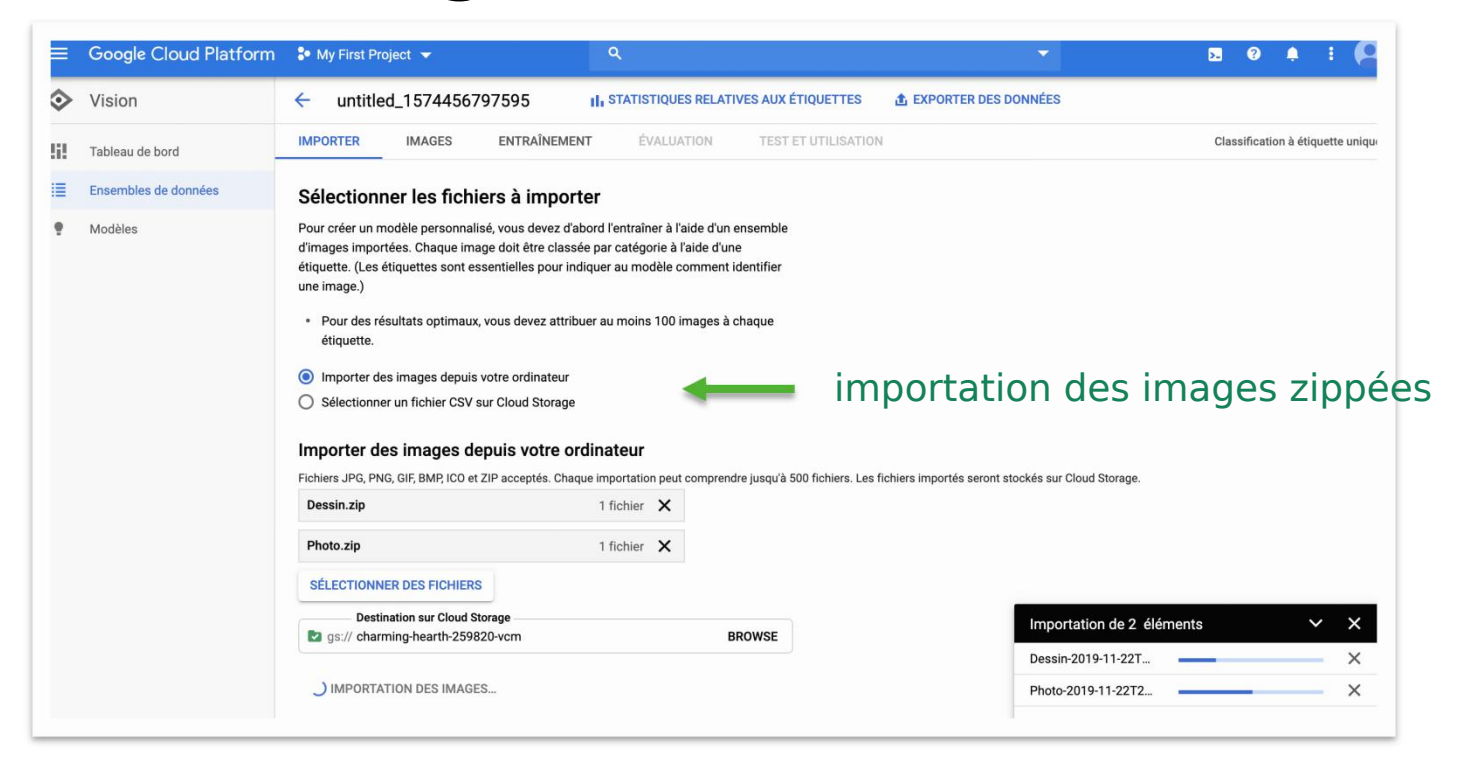


Avec IBM Watson Studio: entraînement

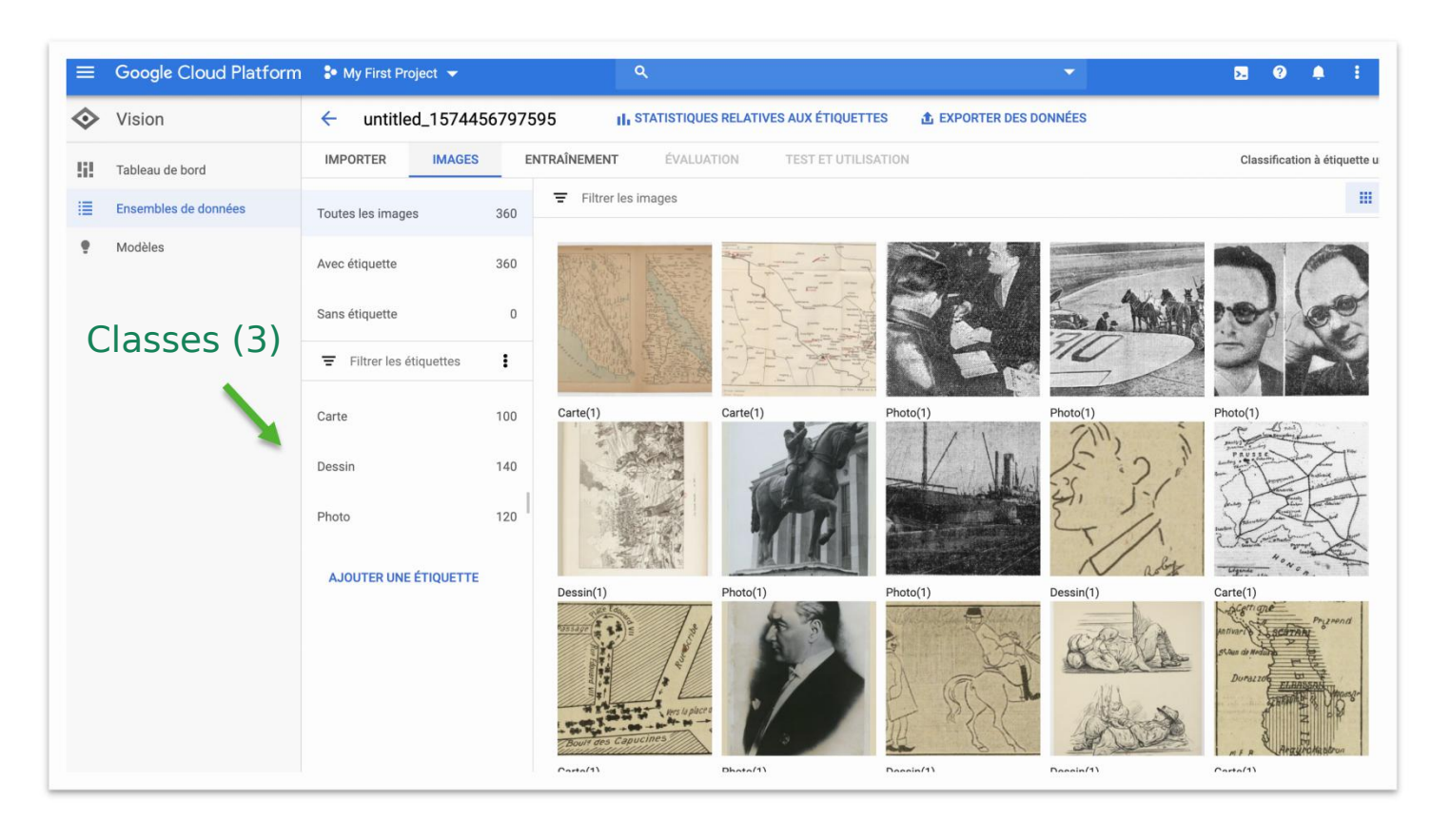


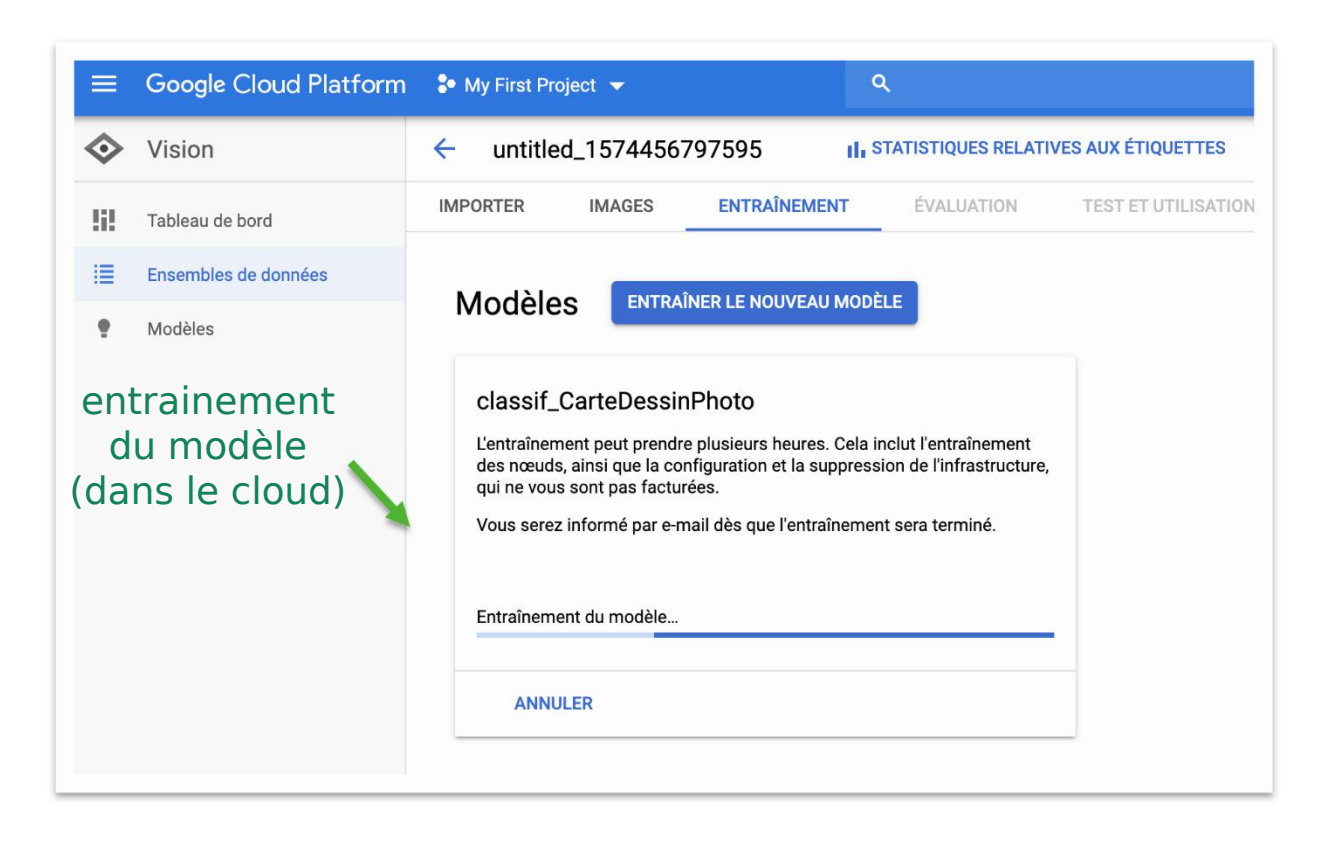
Avec IBM Watson Studio: test

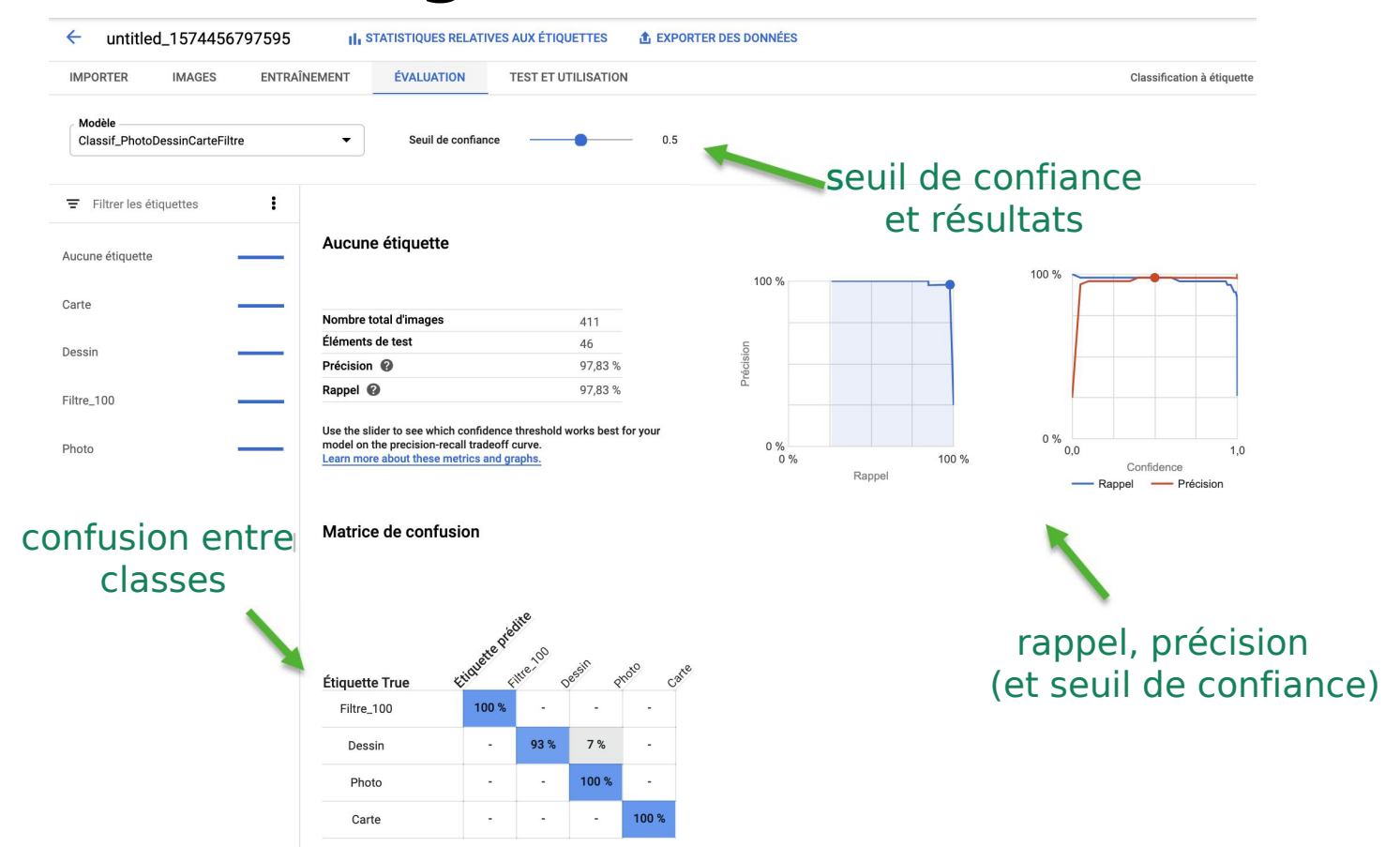




Voir aussi: https://cloud.google.com/vision/automl/docs/beginners-guide?hl=fr

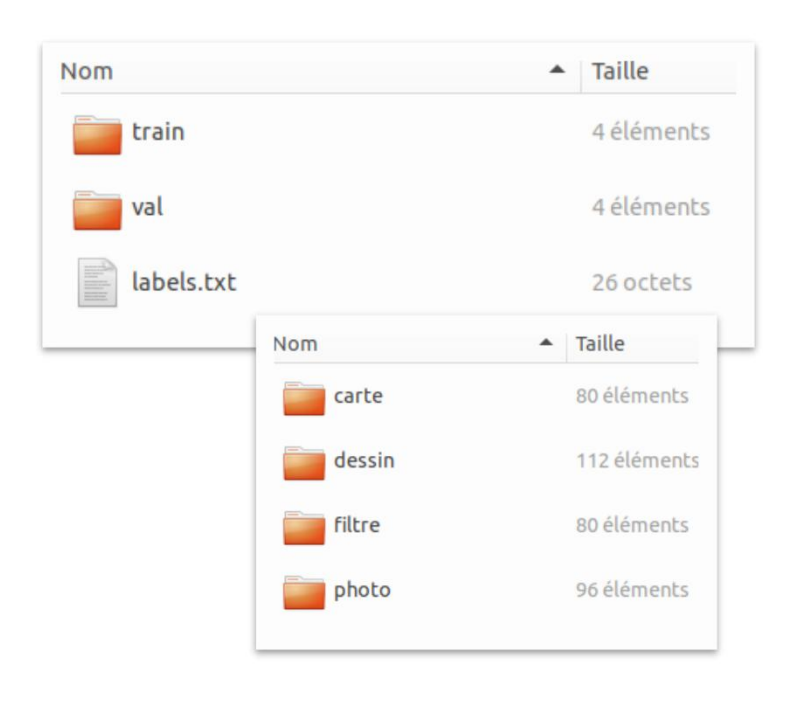






Classification avec un framework IA

Offre: TensorFlow (Google), PyTorch (Facebook), CNTK (Microsoft), Caffe2, Keras...



```
TRT] binding -- index
                         'output 0'
              -- in/out OUTPUT
              -- # dims 1
      warning -- unknown nvinfer1::DimensionType (127)
              -- dim #0 4 (UNKNOWN)
      binding to input 0 input 0 binding index: 0
      binding to input 0 input 0 dims (b=1 c=3 h=224 w=224) size=602112
      binding to output 0 output 0 binding index: 1
TRT] binding to output 0 output_0 dims (b=1 c=4 h=1 w=1) size=16
evice GPU, img-entrainement/resnet18.onnx initialized.
TRT] img-entrainement/resnet18.onnx loaded
mageNet -- loaded 4 class info entries
mg-entrainement/resnet18.onnx initialized.
lass 0000 - 0.413331 (carte)
lass 0001 - 0.353872 (dessin)
lass 0002 - 0.199865 (filtre)
lass 0003 - 0.032932 (photo)
mage is recognized as 'carte' (class #0) with 41.333064% confidence
      Timing Report img-entrainement/resnet18.onnx
TRT
TRT]
TRT]
      Network
                    CPU 33.51479ms CUDA 32.94156ms
      Post-Process CPU
                          0.09761ms CUDA
      Total
                    CPU 33.69365ms CUDA 33.43386ms
TRT] note -- when processing a single image. run 'sudo jetson clocks' before
              to disable DVFS for more accurate profiling/timing measurements
etson.utils -- freeing CUDA mapped memory
```

- Jeux de données :
 <u>https://www.dropbox.com/sh/7puok3g2cc8hcda/AACw6h</u>

 <u>6fPfx93_TKn5ZipWqSa?dl=0</u>
- Comptes:

 IBM: jp.moreux@yahoo.fr
 Google: jpmoreuxbnf@gmail.com
 Jetson Nano: jpm / nanojp